### PONTIFÍCIA UNIVERSIDADE CATÓLICA DE MINAS GERAIS

# Curso de Bacharelado em Engenharia de Produção

Pablo Sthéfano Melo Silva Tiago de Mendonça Lopes Cançado Victor Paula Bartoli

# ESTUDO COMPARATIVO ENTRE SIMULAÇÕES DA MANUFATURA EM UMA INDÚSTRIA DE EMBALAGENS PLÁSTICAS

# Pablo Sthéfano Melo Silva Tiago de Mendonça Lopes Cançado Victor Paula Bartoli

# ESTUDO COMPARATIVO ENTRE SIMULAÇÕES DA MANUFATURA EM UMA INDÚSTRIA DE EMBALAGENS PLÁSTICAS

Trabalho de Diplomação apresentado ao Curso de Engenharia de Produção da Pontifícia Universidade Católica de Minas Gerais, como requisito parcial para obtenção do título de Bacharel em Engenharia de Produção.

Orientadora: Profa. Dra. Maria Aparecida

Fernandes Almeida

Belo Horizonte

# Pablo Sthéfano Melo Silva Tiago de Mendonça Lopes Cançado Victor Paula Bartoli

# ESTUDO COMPARATIVO ENTRE SIMULAÇÕES DA MANUFATURA EM UMA INDÚSTRIA DE EMBALAGENS PLÁSTICAS

Trabalho de Diplomação apresentado ao Curso de Engenharia de Produção da Pontifícia Universidade Católica de Minas Gerais, como requisito parcial para obtenção do título de Bacharel em Engenharia de Produção.

| Profa. Dra. Maria Aparecida Fernandes Almeida (Orientadora) |
|---|
|   |
|   |
| Profa. Dra. Alessandra Lopes Carvalho                       |
|   |
|   |
| Eng <sup>a</sup> . Danielle Brey-Gil Faria                  |

Belo Horizonte
13 de Novembro de 2014

#### **AGRADECIMENTOS**

Agradeço, primeiramente, a Deus pela oportunidade de realizar meu sonho e por todas as graças conquistadas. Aos meus pais, Luiz e Fátima, e meu irmão Sânzio pelo apoio, motivação e por toda dedicação dada. A minha avó Maria de Lourdes (1932-2013), a Lia, que sempre me apoiou e sonhou em ver esta conquista e estará espiritualmente para congratulá-la. A nossa orientadora, professora Maria Aparecida, pelo apoio, paciência, suporte e conhecimento que tornou possível a realização deste trabalho. A engenheira Danielle Brey-Gil, que deu uma oportunidade para fazermos este estudo e a enorme contribuição e agregação de conhecimento neste trabalho. A professora Alessandra Carvalho, por todo o apoio dado e a grande ajuda no momento mais difícil na realização deste trabalho, e sem a sua presença esta obra jamais existiria. Ao professor Osvaldo Correia, que contribuiu bastante ao auxiliarmos na elaboração da metodologia e que nos deu uma diretriz para a realização desta obra. Aos coautores Tiago e Victor, pela aguerrida equipe que formamos e a amizade que propuseram momentos alegres e difíceis nesse trabalho feito com o nosso suor, sangue e lágrimas. Aos demais professores, que agregaram conhecimento que me auxiliaram a trilhar este caminho. A todos os amigos e colegas que encontrei nestas andanças pelo apoio e motivação dados e pelos momentos que passamos. *P.S.M.S.* 

Agradeço a Deus por conquistar mais uma grande etapa importante. Aos meus pais, Sr. José Marcos e Sra. Heduiges, meus irmãos Marcos, Hugo, Rodrigo (*im memoriam*) e Raquel pelo grande apoio e incentivo. A minha noiva Aline, pela força de vontade e companheirismo nas horas complicadas. A amiga Nívia, que me mostrou um novo caminho com equilíbrio e superação para encarar novos desafios. A orientadora Maria Aparecida, pela atenção e conselhos importantes para o nosso trabalho. A Danielle, pela gentileza, disponibilidade e contribuição de abrir as portas de sua empresa. A professora Alessandra Carvalho, pelos auxílios e sugestões importantes de como iniciarmos o trabalho de diplomação. E finalmente, aos coautores Pablo e Victor, pela dedicação, atenção e colaboração de cada um com muito suor. *T.M.L.C.* 

Agradeço a Deus, primeiramente, por ter me dado forças para alcançar e conquistar mais um objetivo em minha vida nessa trajetória acadêmica. Aos meus pais, irmãos, familiares, amigos e colegas de turma pelo apoio e incentivo. A orientadora, professora Maria Aparecida, pelo auxilio e orientação durante todo o desenvolvimento do trabalho de diplomação. A professora Alessandra Carvalho, pela disposição em nos ajudar, pela sugestão de tema e pelo fornecimento de material didático de estudo. A Engenheira Danielle Brey-Gil, pela simpatia, atenção, paciência e contribuição no desenvolvimento deste trabalho. Aos meus caros amigos e coautores Pablo e Tiago, pela cooperação, colaboração, dedicação e superação juntos que tiveram importância fundamental para a conclusão desse trabalho. E a todos que de alguma forma fizeram este trabalho se tornar possível.



**RESUMO** 

É importante para as empresas de manufaturas buscarem otimização de seus processos

industriais para atender a demanda de mercado de maneira eficiente e produtiva. Os sistemas

de modelagem e simulação são ferramentas fundamentais para ajudar na tomada de decisão

uma vez que simulam situações reais de produção. Este trabalho faz um estudo comparativo

entre simulações em uma indústria de embalagens plásticas após a automatização em uma

máquina recuperadora. A finalidade deste estudo é comparar os resultados obtidos após a

modificação no processo de recuperação em uma Indústria de embalagens plásticas através da

simulação e modelagem com o uso de software de simulação discreta.

Palavras-chave: Indústria de embalagens plásticas. Embalagens. Manufatura. Modelagem.

Simulação.

**ABSTRACT** 

It is important for manufacturing companies seek optimizing their industrial processes to meet

the market demand in an efficient and productive. The modelling and simulation of systems is

a fundamental tool to aid in decision-making once that simulate real situations of production.

This work makes a comparative study between simulations in a plastic packaging industry

after automation in a recoil machine. The purpose of this study is to compare the results

obtained after modification in the recovery process in a plastic packaging Industry through

modeling and simulation by using discrete simulation software.

Keywords: Plastic packaging industry. Packaging. Manufacturing. Modeling. Simulation.

# LISTA DE FIGURAS

| Figura 1: Tipos de plásticos  | 16 |
|---|----|
| Figura 2: Processo de fabricação de plásticos   | 17 |
| Figura 3: Esquema de uma fila   | 19 |
| Figura 4: Processo de modelagem   | 21 |
| Figura 5: Processo de modelagem   | 21 |
| Figura 6: Fluxograma de um processo de simulação  | 24 |
| Figura 7: Passos da metodologia   | 26 |
| Figura 8: Interface do software ARENA <sup>TM</sup>                                       | 30 |
| Figura 9: Interface do Input Analyzer   | 31 |
| Figura 10: Processo de fabricação estudado  | 32 |
| Figura 11: Processo de fabricação estudado feito pela lógica do $Software \ ARENA^{TM}$ . | 33 |
| Figura 12: Modelo do processo de Corte 4  | 34 |
| Figura 13: Cenário antes da automatização   | 38 |
| Figura 14: Cenário após automatização   | 38 |
| Figura 15: Gráfico da taxa de ocupação de servidores antes da automatização               | 39 |
| Figura 16: Gráfico da taxa de ocupação de servidores depois da automatização              | 39 |
| Figura 17: Cenários gerados no Process Analyzer   | 43 |
| Figura 18: Gráfico da taxa de ocupação dos servidores no Cenário 24                       | 45 |
| Figura 19: Distribuição gerada com os dados do processo de separação                      | 52 |
| Figura 20: Distribuição de probabilidade gerada com os dados do processo                  | de |
| aglutinação   | 52 |
| Figura 21: Distribuição gerada com os dados do processo de recuperação                    | 53 |
| Figura 22: Distribuição gerada com os dados do processo de extrusão 1                     | 53 |
| Figura 23: Distribuição gerada com os dados do processo de extrusão 3                     | 54 |
| Figura 24: Distribuição gerada com os dados do processo de corte 4                        | 54 |
| Figura 25: Distribuição gerada com os dados do processo de acabamento                     | 55 |

### LISTA DE TABELAS

| Tabela 1: Cronograma da simulação                                 | 30 |
|---|----|
| Tabela 2: Cenário anterior da empresa                             | 37 |
| Tabela 3: Cenário atual após a automatização                      | 38 |
| Tabela 5: Apuração do tempo em fila dos cenários anterior e atual | 40 |
| Tabela 6: Cenário atual e anterior recuperadora                   | 41 |
| Tabela 7: Cenário ideal após a automatização (Cenário 24)         | 44 |
| Tabela 8: Apuração do tempo em fila dos cenários anterior e atual | 45 |

### LISTA DE ABREVIATURAS

| C - Número de atendentes ou servidores |
|--|
| IC - Intervalo de chegada              |
| ERLA - Distribuição de Erlang          |
| EXPO - Distribuição Exponencial        |
| M - Número de servidores               |
| NA - Número de clientes atendidos      |
| NF - Número de clientes na fila        |
| NORM – Distribuição Normal             |
| NS - Número de clientes no sistema     |
| POIS- Distribuição de Poisson          |
| TA - Tempo médio de atendimento        |
| TF - Tempo médio na fila               |
| TOS – Taxa de ocupação de servidores   |
| TS - Tempo médio no sistema            |
| TRIA - Distribuição Triangular         |

BETA: Distribuição Beta

VA Time – Tempo de valor agregado

WEIB - Distribuição de Weibull

- $\lambda$  Ritmo de chegada
- $\boldsymbol{\mu}$  Ritmo de atendimento
- $\rho$  Taxa de utilização do servidor

# **SUMÁRIO**

| 1       | INTRODUÇÃO   | 13 |
|---------|--|----|
| 2       | OBJETIVOS  | 13 |
| 2.1     | Objetivo Geral   | 13 |
| 2.1.1   | Objetivos específicos                                  | 13 |
| 2.2     | Justificativa  | 14 |
| 3       | FUNDAMENTAÇÃO TEÓRICA                                  | 15 |
| 3.1     | Indústria de plásticos no Brasil                       | 15 |
| 3.2     | Teoria das Filas                                       | 17 |
| 3.3     | Modelagem e simulação discreta de sistemas             | 20 |
| 3.4     | Simulação como ferramenta de planejamento estratégico  | 23 |
| 4       | METODOLOGIA  | 24 |
| 5       | ESTUDO DE CASO   | 26 |
| 5.1     | A empresa Beta   | 26 |
| 5.2     | Plano de simulação                                     | 27 |
| 5.2.1   | Formulação e análise do problema                       | 28 |
| 5.2.2   | Planejamento do projeto                                | 29 |
| 5.2.2.1 | O software ARENATM                                     | 30 |
| 5.2.2.2 | A ferramenta Input Analyzer                            |    |
| 5.2.3   | Formulação do modelo conceitual                        | 32 |
| 5.2.4   | Coleta de dados  | 34 |
| 5.2.5   | Tratamento de dados                                    | 35 |
| 5.3     | Estudo e comparação dos dados obtidos após a simulação | 35 |
| 6       | CONCLUSÃO  | 47 |
| REFER   | RÊNCIAS  | 49 |

| ANEXO A: DISTRIBUIÇÕES | S DE PROBABILIDAI | DE DA CADA SETO | R GERADA   |
|------------------------|-------------------|-----------------|------------|
| PELO INPUT ANALYZER    | •••••             |                 | 52         |
|                        |                   |                 |            |
| ANEXO B: RELATÓRIOS    | DA SIMULAÇÃO      | GERADOS PELO    | SOFTWARE   |
| MILENO B. REEMIONIOS   |                   | GERIDOS TEEO    | SOI I WILL |
| ARENA <sup>TM</sup>    |                   |                 | 56         |

## 1 INTRODUÇÃO

A reciclagem de plásticos ganha mais importância a cada dia por inúmeros motivos. E o principal deles é a sustentabilidade. Materiais plásticos podem demorar décadas para se decomporem no meio ambiente e além disso o processo de reciclagem gasta-se pouco da energia utilizada do processo primário.

O mercado de reciclagem do país está bastante aquecido e com isso várias empresas surgem no território brasileiro.

A reciclagem de plásticos começou a ser produzida a partir das próprias indústrias manufatureiras de plásticos, com proposito de reaproveitamento do processo.

O presente trabalho é sobre um estudo comparativo dos resultados do processo de produção de embalagens plásticas desenvolvido por Faria (2012), após a automatização da máquina recuperadora da empresa Beta, nome fictício.

A análise realizada do processo foi através do *software* ARENA<sup>TM</sup>, que permite criar um modelo simulando todas as etapas de produção da fábrica.

Segundo Banks et. al (2010) a simulação de eventos discretos é bastante utilizada em diversas áreas, sobretudo na área de manufatura, auxiliando no processo de tomada de decisão.

#### 2 OBJETIVOS

#### 2.1 Objetivo Geral

Apresentar um estudo comparativo no processo de produção de reciclagem de plásticos após a automatização da máquina recuperadora, através do uso de simulação computacional.

#### 2.1.1 Objetivos específicos

- Elaborar uma revisão bibliográfica sobre processos de modelagem e simulação;
- Estudar um modelo de simulação previamente desenvolvido por Faria (2012) na empresa antes da automatização da máquina recuperadora;

- Gerar o modelo de simulação do processo de produção da empresa Beta após a implantação da máquina recuperadora;
- Desenvolver um estudo comparativo sobre gargalos encontrados na produção da indústria de embalagens plásticas.

#### 2.2 Justificativa

Atualmente, as indústrias estão sofrendo com problemas de baixa produtividade, elevado custo de insumos, baixa capacidade de inovação, etc. E como o mercado de indústrias de embalagens plásticas está aquecido é fundamental fazer mudanças em seu processo para ganhar mercado na frente de seus concorrentes, atender a demanda e aumentar a vantagem competitiva. Porter (2012) mostra que

A vantagem competitiva surge fundamentalmente do valor que uma empresa tem condições de criar para os seus compradores. Ela pode tomar a forma de preços inferiores aos da concorrência por benefícios equivalentes ou o fornecimento de benefícios únicos que mais do que compensam um preço premio.

A importância da automatização nos processos industriais de qualquer empresa surgiu como uma necessidade para disputar um mercado cada vez mais competitivo e exigente. O retorno esperado depois da automatização é imediato, apesar do seu investimento ser um pouco alto.

A mudança que ocorreu na empresa Beta (nome fictício, por questões de sigilo industrial) de indústria de embalagens plásticas, foi à automatização da máquina recuperadora para aumentar sua produtividade, reduzir os gargalos dentro do sistema produtivo, diminuir os desperdícios durante os processos de produção, de forma a obter um produto final com mais qualidade e a redução no tempo de fabricação (*Lead Time*). Através deste acontecimento, o presente trabalho levantou o objetivo de analisar a capacidade que esta máquina impactou na produção da empresa, com o desenvolvimento de um modelo de simulação com o auxilio de um *software*.

O método de simulação pode contribuir para o estudo como uma forma de decidir e solucionar o processo de produção de uma empresa. Os resultados obtidos na simulação são capazes de auxiliar na tomada de decisões e decidir qual o melhor planejamento estratégico o processo deve seguir para aumentar a produtividade e a lucratividade.

É um estudo comparativo importante para mostrar o antes e depois da automatização de máquina recuperadora da empresa Beta, o quanto este equipamento impactou no processo

de produção de embalagens plásticas, e verificar se houve o aumento da eficiência e a redução de desperdícios.

## 3 FUNDAMENTAÇÃO TEÓRICA

#### 3.1 Indústria de plásticos no Brasil

O consumo de transformados plásticos no Brasil chegou a R\$ 59 bilhões em 2012, representando um crescimento de 8,5% em relação aos R\$ 54,4 bilhões somados no ano anterior, segundo dados da Associação Brasileira da Indústria Plástica (2013).

De acordo com o Sindicato da Indústria de Material Plástico do Estado de Minas Gerais (2014) o setor de transformação de produtos poliméricos de Minas Gerais no ano de 2014 é composto por um total de mais de 60 empresas, sendo 16 fabricantes de filmes, que consistem em sacolas, bobinas, sacos, lonas, folhas tubulares e técnicas, sacaria, embalagens flexíveis, bobinas (lisas, impressas e picotadas), embalagens impressas e promocionais, sacos para lixo, sacas para café, filmes metalizados e laminados, rótulos e embalagens em geral.

O Sindicato da Indústria de Material Plástico do Estado de Minas Gerais define os polímeros da seguinte forma:

"Plásticos são materiais formados pela união de grandes cadeias moleculares chamadas polímeros, que, por sua vez, são formadas por moléculas menores, chamadas monômeros. Os plásticos são produzidos através de um processo químico chamado polimerização, que proporciona a união química de monômeros para formar polímeros. Os polímeros podem ser naturais ou sintéticos. Os naturais, tais como algodão, madeira, cabelos, chifre de boi, látex, entre outros, são comuns em plantas e animais. Os sintéticos, tais como os plásticos, são obtidos pelo homem através de reações químicas. O tamanho e estrutura da molécula do polímero determinam as propriedades do material plástico" (SIMPLAST, 2014).

Existem dois tipos de plásticos utilizados na indústria, os termoplásticos e os termofixos. Os termoplásticos são aqueles que são moldados em determinadas temperaturas e pressões e podem ser recicláveis, uma vez que não sofrem alterações em sua estrutura química. Alguns exemplos de termoplásticos são o polipropileno (PP), polietileno de alta densidade (PEAD), polietileno de baixa densidade (PEBD), polietileno tereftalato (PET), poliestireno (PS), policloreto de vinila (PVC), entre outros. Já os termofixos são plásticos que não podem ser recicláveis depois de moldados, logo não podem ser fundidos e remoldados novamente. Alguns exemplos de termofixos são o baquelite, poliuretanos (PU), poliacetato de etileno vinil (EVA), poliésteres, resinas fenólicas, dentro outros. A figura 1 mostra os tipos de plásticos, sua simbologia e sua aplicação:

Figura 1: Tipos de plásticos



Polietileno tereftalato - PET

Produtos: frascos e garrafas para uso alimentício/hospitalar, cosméticos, bandejas para microondas, filmes para áudio e vídeo, fibras têxteis, etc.



Polietileno de alta densidade — PEAD

Produtos: embalagens para detergentes e óleos automotivos, sacolas de supermercados, garrafeiras, tampas, tambores para tintas, potes, utilidades domésticas, etc.



Policloreto de vinila - PVC

Produtos: embalagens para água mineral, óleos comestíveis, maioneses, sucos. Perfis para janelas, tubulações de água e esgotos, mangueiras, embalagens para remédios, brinquedos, bolsas de sangue, material hospitalar, etc.



Polietileno de baixa densidade — PEBD / Polietileno linear de baixa densidade — PELBD

Produtos: sacolas para supermercados e lojas, filmes para embalar leite e outros alimentos, sacaria industrial, filmes para fraldas descartáveis, bolsa para soro medicinal, sacos de lixo, etc.



Polipropileno — PP

Produtos: filmes para embalagens e alimentos, embalagens industriais, cordas, tubos para água quente, fios e cabos, frascos, caixas de bebidas, autopeças, fibras para tapetes e utilidades domésticas, potes, fraldas e seringas descartáveis, etc.



Poliestireno - PS

Produtos: potes para iogurtes, sorvetes, doces, frascos, bandejas de supermercados, geladeiras (parte interna da porta), pratos, tampas, aparelhos de barbear descartáveis, brinquedos, etc.



Outros:

ABS/SAN, EVA e PA. entre outros Produtos: solados, autopeças, chinelos, pneus, acessórios esportivos e náuticos, plásticos especiais e de engenharia, CDs, eletrodomésticos, corpos de computadores, etc.

**Fonte: SIMPLAST 2014** 

O material plástico é bastante usado no mundo todo e é utilizado em muitas atividades econômicas. Dentro da indústria plástica, no setor de petroquímica, há a transformação da resina termoplástica através dos seguintes processos: extrusão, injeção, sopro, injeção e sopro, rotomolagem, fundição, termoformagem e laminação. De acordo com o Sindicato da Indústria de Material Plástico do Estado de São Paulo (2011) o principal processo produtivo utilizado é a extrusão, utilizado por cerca de 60% do total do plástico transformado, seguido pelos processos de injeção (cerca de 20%), sopro (16%) e rotomoldagem e afins (9%). Os produtos plásticos que podem ser obtidos através destes processos são: embalagens plásticas para diversos fins, desde embalagens para peças automotivas e até mesmo itens para construção civil. A Figura 2 mostra o fluxograma do processo de fabricação de plásticos, que será tema de estudo deste trabalho:

 Identificação e Separação
 →
 Aglutinação
 →
 Recuperação
 Extrusão
 →
 Corte e Solda
 →
 Acabamento

Figura 2: Processo de fabricação de plásticos

**Fonte: Elaborada pelos autores** 

No Brasil existem mais de 11 mil empresas que trabalham na transformação termoplástica empregando mais de 350 mil pessoas e esses números vem crescendo. Em relação ao consumo plástico no país, e de acordo com o Sindicato da Indústria de Material Plástico do Estado de São Paulo (2011), o consumo de plástico é de cerca de 30 kg per capita com tendência que esse indicador aumente e em torno de 6,2 milhões de toneladas que cresce em média de 5% ao ano.

Desse total de 6,2 milhões de toneladas, 26% são embalagens para indústria alimentícia, 8% são embalagens para produtos de higiene e limpeza, 14,5% são empregados em embalagens distintas. Em outros países como Estados Unidos e alguns da Europa o consumo é bem maior, cerca de 100 kg por habitante, o que mostra que o Brasil tem uma grande oportunidade de crescimento nesse setor.

#### 3.2 Teoria das Filas

Segundo o Dicionário Michaelis (2008) a fila é a "série de coisas, animais ou pessoas, dispostos em linha reta, ao lado ou atrás uns dos outros" ou também "fileira de pessoas, colocadas umas atrás das outras, por ordem de chegada, que se forma nos lugares de grande afluência de interessados". Resumidamente, a fila é um alinhamento organizado e sequencial de algo, que pode ser pessoas, peças, carros, caminhões, navios, aeronaves e outros. Doravante os componentes de uma fila serão denominados **entidades** ou **clientes**.

Dentro da indústria de bens ou serviços existe a formação de filas, alguns exemplos são: peças metálicas que estão à espera do processo de usinagem em uma metalúrgica, caminhões fora de estrada que aguardam o carregamento de minério em uma mina, navios cargueiros aguardando a sua vez de descarregar seus *containers* e aeronaves que recebem a

ordem da torre de controle do aeroporto para voar em círculos em torno do aeroporto aguardando a autorização para o pouso ou que ficam na *taxiway* esperando a decolagem.

Em algumas situações, a formação de filas poderão formar gargalos dentro do sistema produtivo, gerando instabilidade na produção e podem atrapalhar a produtividade de uma indústria, e isso pode fazer aumentar os custos da produção e afetar a qualidade do produto.

Uma das disciplinas que estuda o comportamento das filas é a **Teoria das Filas**, inserida dentro da Pesquisa Operacional, que Prado (2009) define como "um método analítico que aborda o assunto por meio de fórmulas matemáticas", ou seja, uma fila é convertida em um modelo matemático (no caso são modelos probabilísticos) para ser analisado com o objetivo de fazer a tomada de decisões. Andrade (2004) afirma que a Teoria faz um estudo de entraves que congestionam um sistema, em que o principal atributo é um grupo de clientes solicitando serviços de um servidor de inúmeras maneiras. Morabito (2008) afirma que "os modelos de filas têm sido aplicados com sucesso em diversos sistemas de produção", mostrando a grande utilidade do conceito tanto na indústria de bens quanto nos serviços.

Na Teoria das Filas são utilizados os seguintes termos e expressões:

- Clientes ou Entidades são os elementos que compõem uma fila, uma fração da população, que podem ser pessoas, animais, veículos, componentes elétricos, lingotes de aço e outros.
- Servidores são os elementos que atendem e/ou fazem o processo na entidade, como caixa de supermercado, píer de um porto, finger de um terminal aeroportuário, cabine de pintura, guarita de posto de pedágio, torno CNC e outros.
- **Recursos** são os operários que trabalham dentro do servidor.

As filas seguem a uma regra que é denominada disciplina de atendimento. Ackoff e Sasieni explicam como funciona a disciplina de uma fila:

A ordem em que os clientes esperam e são selecionados para receber o serviço chama-se *disciplina de fila*; os critérios podem ser vários: ou quem chega primeiro é atendido primeiro, ou o atendimento por idade, urgência, ou um sistema qualquer de prioridade, e assim por diante. Os clientes podem ser selecionados aleatoriamente, segundo o critério do atendente, em guichês apinhados. (ACKOFF; SASIENI, 1977, p. 245).

Segundo Morabito (2008), os sistemas de filas podem ser classificados como:

 Fila única e um único servidor: Aeronaves aguardando a ordem da torre de controle para decolar ou aterrissar na pista de um aeroporto;

- Fila única e múltiplos servidores em paralelo: Clientes aguardando o atendimento em um caixa de banco;
- Filas múltiplas e múltiplos servidores em paralelo: Veículos aguardando o atendimento em uma cabine de pedágios nas estradas;
- Fila única e múltiplos servidores em série: Linhas de produção de automóveis, onde as carrocerias passam pelo processo de estampagem, montagem, pintura e acabamento

A figura 3 mostra um esquema de uma fila, explicados os termos citados acima:

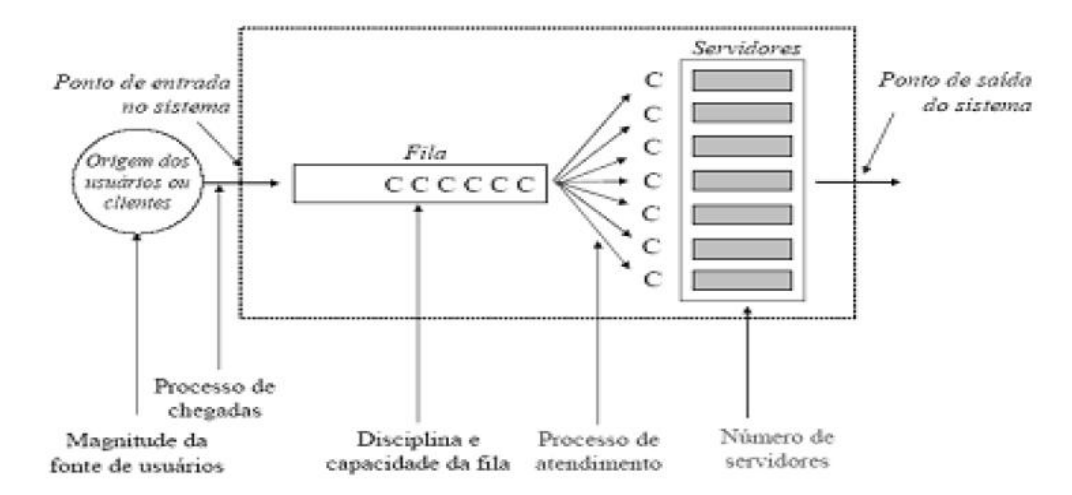


Figura 3: Esquema de uma fila

Fonte: Odoni apud Almeida (2010)

Segundo Prado (2009), são utilizadas as seguintes variáveis no estudo de uma fila:

- Referente ao sistema:
  - Tempo médio no sistema (TS);
  - o Número de clientes no sistema (NS);
- Referentes à chegada:
  - o Ritmo de chegada ( $\lambda$ );
  - Intervalo de chegada (IC);
- Referentes à fila:
  - Tempo médio na fila (TF);
  - o Número de clientes na fila (NF);
- Referentes ao atendimento:
  - o Tempo médio de atendimento (TA);

- o Número de atendentes ou servidores (C);
- o Número de clientes atendidos (NA);
- o Ritmo de atendimento ( $\mu$ );
- Taxa de utilização do servidor (ρ).

Algumas relações matemáticas básicas das variáveis da teoria das filas:

O intervalo de chegada é o inverso do ritmo de chegada:

$$IC=1/\lambda$$
 (1)

O tempo de atendimento é o inverso do ritmo de atendimento:

$$TA=1/\mu \tag{2}$$

A quantidade de clientes no sistema é definida pela soma do número de clientes na fila e o número de clientes atendidos:

$$NS=NF+NA$$
 (3)

O tempo médio do cliente no sistema é a soma do tempo médio na fila e o tempo de atendimento:

$$TS=TF+TA$$
 (4)

A taxa de ocupação do servidor é a razão da taxa de chegada pela taxa de atendimento:

$$\rho = \lambda/\mu$$
 (5)

No caso de vários servidores, deve-se multiplicar a taxa de atendimento da equação (v) pela quantidade de servidores (C):

$$\rho = \lambda / C \mu$$
 (6)

Uma fila ocorre quando a quantidade de entidades que necessitam de um serviço é superior que a quantidade e capacidade de execução dos servidores. Quando acontece o contrário (quantidade de servidores superior que a de clientes), ocorre à ociosidade dos servidores.

#### 3.3 Modelagem e simulação discreta de sistemas

A modelagem é a ação de criar um modelo que exemplifica e explique um sistema real. Almeida (2009) mostra que "a experimentação com modelos é feita principalmente para aumentar o conhecimento sobre o sistema estudado. Uma simulação deve responder e, algumas vezes, criar questionamentos", isto evidencia que a modelagem de um sistema

produtivo é fundamental para realizar a tomada de decisões e fazer as devidas melhorias. As figuras 4 e 5 mostram esquemas de um processo de modelagem:

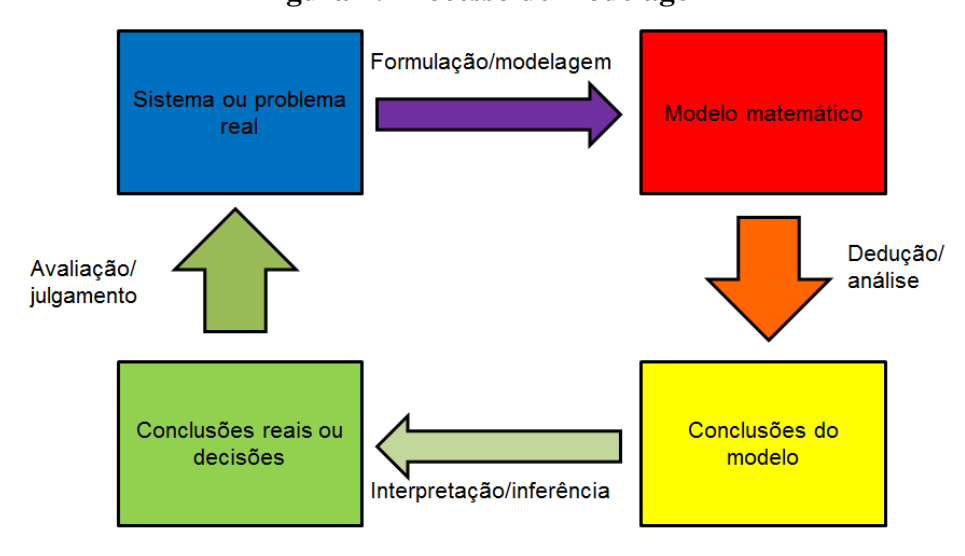


Figura 4: Processo de modelagem

Fonte: Adaptado de Morabito (2008)

Percepção ou demanda por solução

Definição do problema

Construção do modelo

Solução do modelo

Validação do modelo

Implementação de resultados

Figura 5: Processo de modelagem

Fonte: Adaptado de Andrade (2000) e Lachtermacher (2007)

Segundo Morabito (2008), Andrade (2000) e Lachtermacher (2007), a modelagem se inicia na observação de um sistema real onde se identifica um problema, fazendo a

formulação e modelagem de um modelo matemático que representa o sistema estudado, depois faz a dedução e análise para obter as conclusões, logo faz a interpretação e inferência com o objetivo de obter as conclusões reais para a tomada de decisões, e depois de realizar as avaliações e julgamento, mostrando os resultados positivos, os resultados serão implantados no sistema real.

A simulação segundo Prado (2009) "é uma técnica que, usando um computador digital, procura montar um modelo que melhor represente o sistema estudado" e Naylor (1971) mostra que "é uma técnica numérica para realizar experiências em um computador digital, envolvendo certos tipos de modelos lógicos que descrevem o comportamento de um sistema sobre extensos intervalos de tempo". Ou seja, é a conversão de um modelo matemático em um modelo computacional por meio de software de simulação. Ackoff e Sasiene (1977) falam que "pode simular qualquer sistema de fila que possa ser descrito e para o qual se possam obter dados de chegada e de tempo de serviço", e também falam que "o uso de simulação em problemas de fila é praticamente útil quando o processo nunca alcança a estabilidade, ou quando os estados transientes são críticos", estas citações mostram a grande aplicabilidade da simulação para identificar gargalos que atrapalham a produtividade, a forte correlação entre a simulação e a teoria das filas e a utilização do conceito quando os modelos analíticos da Teoria das Filas não são suficientes para identificar atividades gargalos em sistemas complexos. Uma das simulações mais estudadas é a Simulação Discreta, que Kelton e Law apud Alvim (2009) definem como a simulação que relaciona a modelagem com a evolução do tempo, sendo representado de maneira que as variáveis de estado variem em intervalos de tempos distintos, no qual ocorrem os acontecimentos. Os sistemas de filas se encaixam nos modelos de simulação discreta. Silva (2012) utilizou a simulação discreta para estudar o processo de armazenamento e movimentação de cargas no transporte ferroviário, analisando a capacidade de um terminal e a viabilidade de investimento na ampliação de capacidade. Souza (2010) utilizou as técnicas de simulação na indústria têxtil para identificar as atividades gargalos do processo, que chegava a prejudicar a entrega de tecidos para os clientes. Este trabalho auxiliou na tomada de decisão da empresa, auxiliando na melhoria do rendimento da produção. Biscotto (2008) utilizou a simulação na indústria automotiva, fazendo uma análise do fluxo de carrocerias que entram no processo de pintura para verificar e descobrir melhorias no processo para aumentar o desempenho, e este trabalho propôs a mudança no leiaute para reduzir o tempo de pintura e aumentar a produtividade.

Os trabalhos acima mostram que a modelagem e a simulação podem fazer algumas previsões de cenários sujeitas a uma quantidade de restrições por meio de ferramentas

computacionais, capaz de gerar a solução ótima e dar um a diretriz para a tomada de decisões dentro do planejamento estratégico de uma empresa, auxiliando no aumento da produtividade.

Sobre os modelos de simulação, Freitas Filho (2008) discrimina da seguinte forma:

- a. Sistemas estáticos
- b. Sistemas dinâmicos
  - I. Sistemas dinâmicos determinísticos
  - II. Sistemas dinâmicos aleatórios
    - Sistemas dinâmicos aleatórios contínuos
    - Sistemas dinâmicos aleatórios discretos

Pela classificação acima, o sistema que será objeto de estudo desse trabalho é classificado como aleatório dinâmico e discreto, pois as variáveis não são influenciáveis pelo tempo.

#### 3.4 Simulação como ferramenta de planejamento estratégico

O Planejamento Estratégico segundo Tubino (2008) é o conjunto de politicas que uma empresa define dentro do nível estratégico e que dá base para torná-la competitiva, e da diretriz para o setor tático e operacional. Moreira (2013) afirma que o Planejamento Estratégico se tornou um movimento que intensifica a atividade vital dentro de uma empresa, fazendo um planejamento racional da manufatura com o objetivo de obter uma vantagem competitiva, e também afirma que este conceito define a filosofia da empresa para definir os objetivos, políticas, e planos para o longo prazo, mostrando a importância para a sustentabilidade da empresa. Slack, Chambers e Johston (2009) falam que as empresas devem desenvolver suas capacidades de maneira a permitir o refinamento e o aperfeiçoamento de seus objetivos estratégicos, e isto possui afinidade com a modelagem e a simulação de processos, pois auxiliam no Planejamento Estratégico. Na citação abaixo, Faria mostra a grande relação entre modelagem e simulação:

O objetivo é extrair deste conceito a ideia de que a modelagem de um sistema através da simulação computacional também significa uma ação estratégica para a empresa que deseja alinhar todas as áreas de sua empresa de forma a garantir melhor aproveitamento dos recursos com o menor custo possível. (FARIA, 2012, p.18)

Isto mostra que a simulação é uma ferramenta que auxilia no planejamento estratégico de uma empresa, pois faz a modelagem do sistema produtivo, descobre as possíveis

formações de filas (que em algumas situações poderão formar os gargalos), faz as melhorias nos setores mais problemáticos, a simulação é refeita e por fim descobre a solução ótima e faz a validação do modelo.

#### 4 METODOLOGIA

Para Bertucci (2008), para realizar um estudo de caso é necessário à definição de metodologias, como o tipo de pesquisa, os procedimentos, o tratamento dos dados, a análise destes e outros fatores para dar credibilidade ao trabalho.

A figura 6 mostra um fluxograma baseado nas ideias de Lachtermacher (2007) onde resume as diretrizes para realizar uma simulação de um processo produtivo:

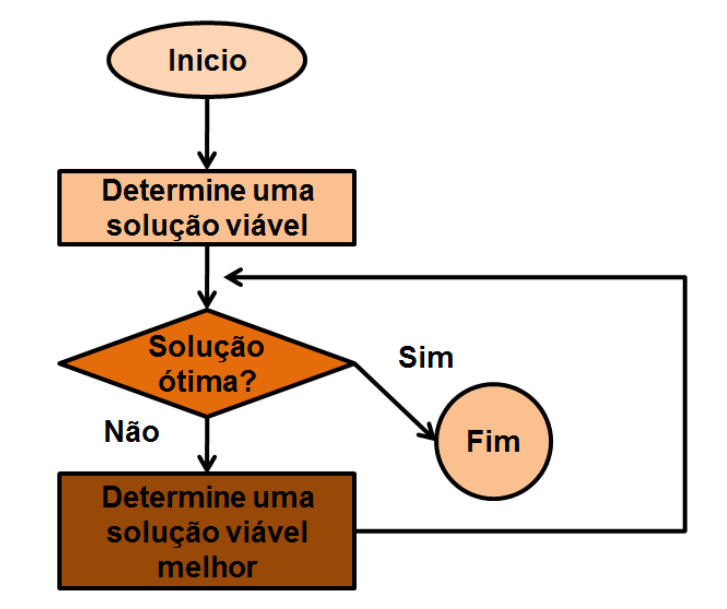


Figura 6: Fluxograma de um processo de simulação

Fonte: Adaptado de Lachtermacher (2007)

Neste trabalho será feita o uso de técnicas de simulação discreta do processo de fabricação de embalagens plásticas pós-atualização onde será comparada com a primeira simulação realizada por Faria (2012) antes da automatização do processo de recuperação.

Para realizar a simulação na indústria de embalagens plásticas, serão realizados os seguintes passos, semelhante aos seguidos por Faria (2012):

- Passo 1: Obtenção e análise da primeira simulação;
- Passo 2: Escolha da metodologia, será feita a simulação discreta da planta da empresa deste estudo de caso, utilizando o conceito de Teoria das Filas e ferramentas de simulação;

- Passo 3: Escolha da técnica de simulação, onde será utilizada a Simulação Discreta e a
  Teoria das Filas, onde as variáveis de estado serão alteradas somente em pontos
  definidos;
- Passo 4: Escolha da ferramenta computacional para fazer as simulações, neste trabalho será utilizado o software ARENA<sup>TM</sup> da Rockwell Automation;
- Passo 5: Elaboração do modelo do processo estudado, onde será construído um diagrama de blocos (fluxograma), onde será representados todos os setores que participam do processo de fabricação em estudo;
- Passo 6: Coleta e obtenção de dados, onde será coletado tempo de execução das atividades em cada setor da planta;
- Passo 7: Estudo estatístico dos dados por meio de amostragem;
- Passo 8: Inserção dos dados obtidos no *software* ARENA<sup>TM</sup>;
- Passo 9: Revisão do processo feito no ARENA<sup>TM</sup>, onde será feita uma análise visual e analítica do modelo, verificando se está de acordo com o sistema real;
- Passo 10: Realizar a simulação;
- Passo 11: Fazer a validação do modelo, onde será analisado comportamento do sistema a partir da avaliação do movimento das entidades ao longo do processo e visualização dos indicadores em cada processo;
- Passo 12: Geração dos relatórios da simulação, onde o próprio ARENA<sup>TM</sup> fornece após a compilação;
- Passo 13: Análise dos resultados obtidos pelos relatórios para identificar as atividades gargalos;
- Passo 14: Comparação das simulações das plantas antiga e atual, onde serão reveladas as possíveis melhorias do processo produtivo;
- Passo 15: Elaboração de um novo modelo para melhorar o processo atual, onde serão criados novos modelos e feitas várias iterações até que se obtenha um modelo convincente que apresente resultados de melhoria e que auxilie a empresa estudada na tomada de decisões.

A figura 7 é um diagrama sucinto que mostra os passos e a lógica que serão seguidos nesse trabalho:



Figura 7: Passos da metodologia

Fonte: Elaborada pelos autores

#### 5 ESTUDO DE CASO

#### 5.1 A empresa Beta

A empresa analisada atua no mercado há cerca de três décadas e tem como atividade a transformação de resinas termoplásticas de baixa densidade, a reciclagem de embalagens plásticas, e a venda, entrega e distribuição de seu produto.

Os produtos são fabricados conforme as normas brasileiras com alta qualidade, prezando pelo ótimo atendimento ao cliente; mantêm um ótimo relacionamento entre os *stakeholders* (clientes, fornecedores, funcionários, comunidade e outros) e contribui com o desenvolvimento sustentável promovendo a reciclagem de embalagens plásticas.

A linha de produtos é composta pela fabricação de sacos, embalagens e películas plásticas. O trabalho focará na análise do fluxo de matéria-prima, o plano de simulação, a análise dos resultados obtidos e a comparação com o estudo feito por Faria (2012).

Faria (2012) faz uma visão sucinta de cada setor:

 Setor de separação: Faz a limpeza do material. Os sacos vindos do refugo de outras empresas são separados manualmente de papéis, grampos, fitas adesivas e outras impurezas. Logo, o material é então ensacado e enviado para o processo de aglutinação;

- Setor de aglutinação: O material é inserido no aglutinador onde o plástico será cortado até virar flocos que serão fundidos e novamente solidificados com água fria a fim de formar grãos para melhor ser inserido no funil da máquina recuperadora;
- Setor de recuperação: Os grãos de plástico são levados ao funil e inseridos por meio de um grande parafuso sem fim em um tubo revestido com 12 resistências, aquecendo o material a uma temperatura de 250°C, e é forçado a passar por um conjunto de telas metálicas que filtrarão impurezas finas como limalhas e areia. Após passar por estas telas, o material derretido é extraído da máquina no formato de fios que são resfriados em um reservatório com água e picotados, tornando-se grãos prontos para se transformarem uma nova película plástica;
- Setor de extrusão: O material granulado e sem impurezas é levado para a extrusora que injetará o material em um novo tubo, derretido a 180°C e através de uma matriz circular de formato tubular, com o auxílio da injeção de ar no seu centro definindo o diâmetro. Para definir a espessura, a máquina controla a velocidade do motor de inserção de material e a velocidade da bobinadeira que enrolará o produto em tarugos para, mais tarde, ser enviado ao processo de corte e solda;
- Setor de corte e solda: O material tubular será desenrolado da bobina, passando entre
  rolos de compensação de tração e transportado até uma matriz horizontal que cortará o
  saco em uma dimensão especificada e ao mesmo tempo fazer a costura do fundo do
  saco por meio de uma prensa aquecida; O material é retirado de acordo com a
  quantidade pré-determinada e preparado para o seu recebimento no setor de
  acabamento;
- Setor de acabamento: Realiza o empacotamento do material produzido na forma em que ele irá ser entregue aos destinatários (clientes). Os sacos plásticos são testados, contados e embalados, e também serão identificados de forma a cumprir todos os requisitos.

#### 5.2 Plano de simulação

O Plano de Simulação é uma diretriz visa o objetivo de orientar no planejamento e desenvolvimento da simulação, ou seja, é um roteiro da simulação, e deve responder as seguintes perguntas:

• O que será simulado?

- Quais dados serão utilizados?
- Qual será a ferramenta computacional que será utilizada?
- Quais recursos serão úteis para realizar a simulação?
- Qual será o modelo que representará o sistema estudado?
- Quais serão os resultados obtidos?
- A solução é ótima?

Harrel *apud* Almeida (2009) mostra que o plano de simulação é uma maneira de organizar e planejar os experimentos que serão realizadas, ou seja, roteiriza a simulação em várias etapas.

#### 5.2.1 Formulação e análise do problema

A formulação do processo define a diretriz que a simulação será realizada, com a definição da proposta e objetivo.

O sistema que será estudado é o processo de manufatura de sacos plásticos, desde a chegada da matéria-prima até o processo de embalagem, passando por todos os processos de transformação e agregação de valor. A seção 5.1 deste trabalho mostra a descrição de todo o processo que será analisado. Faria (2012) descreve sucintamente o leiaute da indústria.

O modelo em análise consiste em 6 processos de produção, organizados em uma linha de produção em U em que o produto gerado na saída de cada processo torna-se o produto de entrada do processo seguinte. A cada fase o material sofre transformações físico-químicas até se obter um resultado em acordo com o esperado. De acordo esses dados, foi elaborada uma simulação, utilizando o *software* ARENA<sup>TM</sup>, a partir de um modelo geral do sistema, para se verificar a taxa de chegada e a taxa de atendimento de cada processo. (FARIA, 2012, p. 30)

O objetivo desse estudo será compreender o comportamento das filas existente dentro do processo de fabricação e comparar com a simulação anterior, identificando os novos gargalos dos sistemas e as prováveis melhorias que ocorreram depois da automatização da máquina recuperadora.

As respostas esperadas são o novo número de entidades em cada fila do processo (Neste trabalho a entidade será a massa de embalagens plásticas em quilogramas produzidas por minuto), o tempo na fila, a taxa de ocupação de cada maquina (aglutinadora, recuperadora, extrusora, etc.), o número total de entidades que passaram pelo processo, o número total de sacos produzidos e o *lead-time* do processo, a descoberta de um nova

atividade gargalo e/ou excedente na produção, e o encontro da melhor solução que auxiliará a o setor estratégico da empresa na tomada de decisão.

#### 5.2.2 Planejamento do projeto

O planejamento do processo define quais recursos serão empregados e o cronograma com o tempo definido para fazer os experimentos. Neste caso, os seguintes recursos serão utilizados para a realização deste estudo:

- Três analistas, que são discentes bacharelandos do curso de Engenharia de Produção da Pontifícia Universidade Católica de Minas Gerais;
- Tempo de orientação da docente orientadora;
- Tempo dos autores;
- Funcionários da alta administração e do chão de fábrica da empresa analisada;
- Computadores com acesso a internet e equipados com o software de simulação ARENA<sup>TM</sup> do laboratório de informática da PUC Minas;
- Referências bibliográficas (livros, apostilas, periódicos e artigos científicos) na área da Pesquisa Operacional;
- Pesquisa de campo;
- Dados obtidos pela empresa;
- Entrevistas aos envolvidos na produção;
- USB *flash drive* (*Pen drive*);
- Programa Microsoft Excel<sup>TM</sup> 2010.

A análise obedecerá ao seguinte cronograma mostrado na tabela 1:

Tabela 1: Cronograma da simulação

| Atividade                                | Tempo (Dias) |
|--|--------------|
| Escolha do tema do trabalho              | 30           |
| Formulação do modelo no software ARENATM | 10           |
| Coleta e simulação dos dados             | 20           |
| Simulação                                | 5            |
| Verificação                              | 5            |
| Validação                                | 5            |
| Experimentação                           | 5            |
| Interpretação e análise dos resultados   | 5            |

Fonte: Elaborada pelos autores

# 5.2.2.1 O software ARENATM

O *software* ARENA<sup>TM</sup>, que será utilizado neste trabalho, é um programa desenvolvido pela Rockwell Automation que faz simulações de processos produtivos. A figura 8 mostra a interface do *software*:

Arriange Superior Modelty

File Edit View Tools Arrange Object Run Window Help

File Edit View Tools Arrange Object Run Window Help

File Edit View Tools Arrange Object Run Window Help

File Edit View Tools Arrange Object Run Window Help

File Edit View Tools Arrange Object Run Window Help

File Edit View Tools Arrange Object Run Window Help

File Edit View Tools Arrange Object Run Window Help

File Edit View Tools Arrange Object Run Window Help

File Edit View Tools Arrange Object Run Window Help

File Edit View Tools Arrange Object Run Window Help

File Edit View Tools Arrange Object Run Window Help

File Edit View Tools Arrange Object Run Window Help

File Edit View Tools Arrange Object Run Window Help

File Edit View Tools Arrange Object Run Window Help

File Edit View Tools Arrange Object Run Window Help

File Edit View Tools Arrange Object Run Window Help

File Edit View Tools Arrange Object Run Window Help

File Edit View Tools Arrange Object Run Window Help

File Edit View Tools Arrange Object Run Window Help

File Edit View Tools Arrange Object Run Window Help

File Edit View Tools Arrange Object Run Window Help

File Edit View Tools Arrange Object Run Window Help

File Edit View Tools Arrange Object Run Window Help

File Edit View Tools Arrange Object Run Window Help

File Edit View Tools Arrange Object Run Window Help

File Edit View Tools Arrange Object Run Window Help

File Edit View Tools Arrange Object Run Window Help

File Edit View Tools Arrange Object Run Window Help

File Edit View Tools Arrange Object Run Window Help

File Edit View Tools Arrange Object Run Window Help

File Edit View Tools Arrange Object Run Window Help

File Edit View Tools Arrange Object Run Window Help

File Edit View Tools Arrange Object Run Window Help

File Edit View Tools Arrange Object Run Window Help

File Edit View Tools Arrange Object Run Window Help

File Edit View Tools Arrange Object Run Window Help

File Edit View Tools Arrange Object Run Window Help

File Edit View Tools Arrange Object Run Window Help

File

Figura 8: Interface do  $software ARENA^{TM}$ 

**Fonte: Foto dos autores** 

Segundo Almeida (2009) o *software* utiliza como etapas para realizar a modelagem a criação de um modelo básico, o refinamento, a simulação, a análise do resultado e a seleção da melhor alternativa. Também fala que o programa utiliza a linguagem de programação SIMAN que "basicamente enxerga o sistema como uma sequencia de eventos aleatórios que causam mudanças nos estado do modelo", ou seja, o sistema é sintetizado a um grupo de células de trabalho (ou estações de trabalho), que são interligados entre si e as entidades (ou clientes) percorrem estas estações conforma a uma lógica, por exemplo, um monobloco de carro (entidades) que passam por todos os setores de uma indústria automobilística (estações) para agregar valor e ser tornar um produto pronto ou um lingote (entidade) que passa em todos os processos em uma siderúrgica (estações). Neste estudo, o polímero (entidade) passara por várias etapas na indústria (estações) para se tornar um saco plástico acabado.

#### 5.2.2.2 A ferramenta Input Analyzer.

O *Input Analyzer* é uma ferramenta disponível no *software* ARENA<sup>TM</sup> que serve para fazer tratamentos de dados e escolher a melhor fórmula de distribuição de probabilidade que se adequa ao conjunto. As informações referentes às distribuições podem ser encontradas em Montgomery e Runger (2009) e Soares, Farias e César (2003). A figura 9 mostra a interface desta ferramenta.

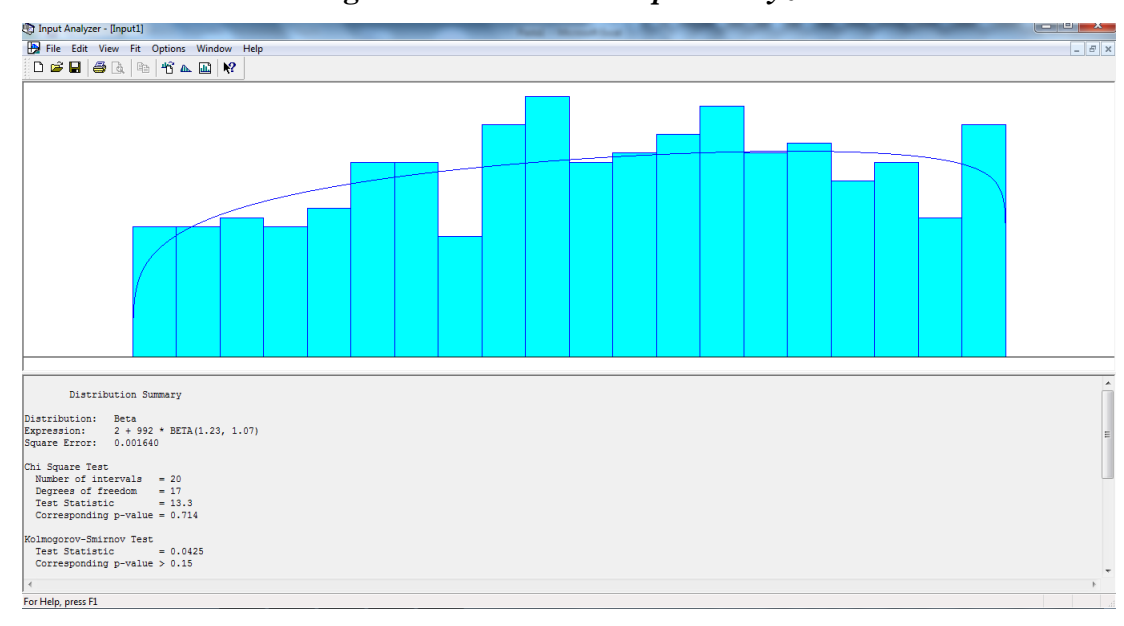


Figura 9: Interface do Input Analyzer

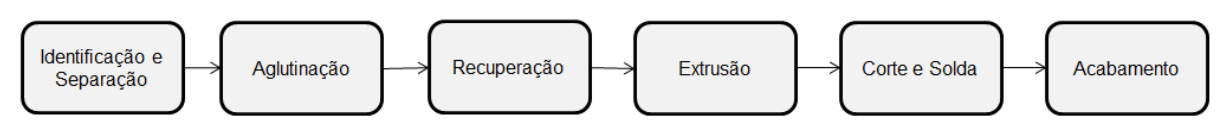
Fonte: Foto dos autores

Neste trabalho, esta ferramenta será utilizada para estimar a melhor função de probabilidade que se adequa ao conjunto de dados de cada setor fornecidos pela empresa.

#### 5.2.3 Formulação do modelo conceitual

Nesta fase será esboçado o fluxograma do sistema, onde representara todos os processos envolvidos, onde serão identificadas as etapas e explanada a lógica. A figura 10, já mostrada na seção 3.1 mostra o fluxograma do processo estudado.

Figura 10: Processo de fabricação estudado



Fonte: Adaptado de Faria (2012)

A figura 11 mostra o fluxograma da figura 10 traduzido na lógica adotada pelo *software* ARENA<sup>TM</sup>, com os processos definidos. Em todos os processos, foram utilizados os blocos básicos (*Basic process*): *Create* (Entrada), *process* (Processo) e *Dispose* (Saída).

SETOR SEPARAÇÃO Separador 0 SETOR AGLUTINADOR SETOR RECUPERADORA Saida Recuperadora Chegada Recuperadora Maq. Recuperadora SETOR EXTRUSORA 1 Maq. Extrusora Saida Extrusora1 SETOR EXTRUSORA 3 Maq. Extrusora3 SETOR CORTE 1 Maq. Corte1 Saida Corte1 Chegada Corte1 SETOR CORTE 4 Saida Corte4 Maq. Corte4 SETOR ACABAMENTO Acabamento

Figura 11: Processo de fabricação estudado feito pela lógica do Software ARENATM

Fonte: Elaborada pelos autores

A figura 12 mostra o modelo lógico de uma célula da indústria montado no *software* ARENA<sup>TM</sup>, mostrando os blocos, filas, valores e fluxo.

Fila de matéria prima Fluxo de Bloco matéria prima SETOR CORTE 4 Bloco Create Dispose Chegada Corte 4 Corte 4 Saida Corte4 Bloco 3 0 3 8 Chegada do **Process** Saída do Tempo de Material (kg) material (kg) Atendimento (Minutos)

Figura 12: Modelo do processo de Corte 4

Fonte: Adaptado de Faria (2012)

Em amarelo estão os blocos básicos de simulação de chegada, processo e saída. Ao lado direito do bloco *create*, em azul, está à quantidade de material que chega para ser processado na máquina de corte. Acima do bloco *process*, indicado em verde, esta a fila formada pelo cliente (neste caso, matéria prima). Abaixo, em vermelho, está o tempo de atendimento (TA) em minutos do beneficiamento da entidade. No bloco *dispose*, em azul à direita, mostra a quantidade de material que saiu em quilogramas.

#### 5.2.4 Coleta de dados

Nesta fase, considerada a mais importante do estudo, foram coletados junto com a empresa os dados de todos os processos de fabricação de embalagens plásticas para serem utilizados na simulação. E esta fase pode ser considerada mais difícil, pois em algumas empresas os dados são inacessíveis por segredo industrial e pode haver excesso ou falta deles, que poderão comprometer a simulação.

Para obtenção dos dados dos processos, foram criadas planilhas para fazer o controle de cada setor, onde foram inseridos os horários de início e término, tipo de material, quantidade produzida, tempo de atendimento e *lead time*.

A obtenção de dados foi realizada durante o expediente da fábrica, que funciona de Segunda-feira a Sexta-feira das 6 às 18 horas e sábados das 6 às 15 horas, durante os meses de Abril e Outubro de 2014. Alguns setores da fábrica foram obtidas uma coleta de 5 dias, por

fatos complicadores. Para a realização do estudo, os autores fizeram visitas periódicas e tiveram apoio da alta administração e dos funcionários mais experientes da fábrica, havendo pouca dificuldade em obter os dados do processo.

Após a coleta, os dados foram transcritos para a planilha do Microsoft Excel™ 2010, onde as amostras foram submetidas a cálculos, a mesma utilizada no trabalho de Faria (2012). A quantidade de material foi obtida a partir da razão da massa de material produzida pelo tempo de expediente da indústria, excluindo pausas, como o horário de almoço dos funcionários e paradas inoportunas das máquinas.

#### 5.2.5 Tratamento de dados

Nesta fase, os dados obtidos de cada processo passaram por tratamentos em ferramentas computacionais para se tornarem aptos para serem simulados. Esse procedimento é executado de forma atenciosa e precisa para não perder nenhum tipo de informação importante e que deve estar em conformidade com o objetivo do estudo. Como foi dito anteriormente, os dados coletados foram inseridos no Microsoft Excel<sup>TM</sup> 2010 com finalidade de estudo e tratamento por meio de tabelas e planilhas para se chegar à produtividade de cada setor da empresa.

O processo de produção na empresa segue um fluxo linear que passa pelas seis etapas básicas de manufatura, apresentando comportamento bem definido para a aplicação do estudo.

Após os dados de a fábrica ser transcritos para o Microsoft Excel<sup>TM</sup> 2010 e tratados, o mesmo foram convertidos em um arquivo texto (.txt) inseridos na ferramenta *Input Analyzer* do *software* ARENA<sup>TM</sup> para descobrir a melhor função de distribuição de probabilidade que melhor obedece a esse conjunto.

#### 5.3 Estudo e comparação dos dados obtidos após a simulação

A empresa Beta trabalha no setor de manufatura de sacos plásticos e tem como política sempre atender clientes com eficiência, com produtos de qualidade e cumprimento de prazos, seja dos produtos padronizados ou até mesmo personalizados. Desde a criação, a empresa Beta tem sua estrutura organizacional voltada para atender da melhor forma a demanda de clientes utilizando sua capacidade produtiva dividida e direcionada entre número de servidores, de recursos, entidades, e tempo de trabalho. Números de servidores são

considerados as máquinas ou postos de trabalho, número de recursos são os funcionários, e as entidades são a quantidade em quilogramas de material produzido.

Como a empresa trabalha na produção de produtos embalagens plásticas não apenas padronizados, mas também personalizados, diversificados e com especificações diferentes de acordo com os pedidos dos clientes, o fluxo da produção alterna bastante e se torna complexo induzir melhorias nesse caso. Sendo assim, a utilização de ferramentas como o *software* ARENA<sup>TM</sup> se torna muito importante para criar modelos de um sistema de produção real, uma vez que este permite fazer modificações e simular situações reais diversas possibilitando chegar e obter possíveis resultados mais favoráveis e satisfatórios no processo produtivo.

Anteriormente a este estudo, Faria (2012) já havia desenvolvido um estudo de simulação na mesma empresa de estudo atual. Porém, recentemente, a empresa Beta, automatizou uma das máquinas do processo produtivo de manufatura de embalagem plástica denominada recuperadora. A troca do filtro da máquina recuperadora que era feita manualmente e demandava cerca de 15 minutos por troca, atualmente é feita em cerca de poucos segundos, o que significou um ganho e mais eficiência na produtividade da organização. A partir disso, uma nova simulação foi desenvolvida para apurar novos resultados após a automatização e compara-los.

Mas antes de fazer a simulação da modelagem computacional no *software* ARENA<sup>TM</sup> é primordial fazer primeiramente a coleta de dados, considerando as variáveis de tempo no sistema, os números de servidores, de clientes na fila e seus respectivos tempos de atendimento, número de recursos e de entidades.

Após coletados os dados, são inseridos as variáveis e expressões de distribuição de probabilidade na modelagem real. No Anexo A são mostrados as distribuições de probabilidades geradas pelo *Input Analyzer* a partir dos dados coletados de cada setor da fábrica. A simulação da empresa Beta foi realizada anteriormente com o tempo de oito horas com 24 replicações, que são o tempo de horas trabalhadas por dia e aos dias trabalhados por mês respectivamente. Terminado a simulação se gerou os seguintes resultados e variáveis relevantes anteriores a automatização da máquina recuperadora na tabela 2, e os relatórios completos da simulação podem ser vistos no Anexo B deste trabalho:

Tabela 2: Cenário anterior da empresa

|                               | Separador                | Aglutinado          | Recuperado                | Extrusora 1                          | Extrusora 3                | Corte 1                                | Corte 4                 | Acabamento                 |
|-------------------------------|--------------------------|---------------------|---------------------------|--------------------------------------|----------------------------|--|-------------------------|----------------------------|
| IC (min)                      | EXPO<br>(12,576)         | EXPO<br>(1,923)     | EXPO<br>(0,6197)          | EXPO<br>(6,1037)                     | EXPO<br>(6,1037)           | EXPO<br>(0,0411)                       | EXPO<br>(0,0962)        | EXPO<br>(6,25)             |
| TA (min)                      | ERLA<br>(0,052, 4)       | EXPO<br>(2,17)      | 1 + WEIB<br>(0,749, 1.55) | 0,13 + 1,08 *<br>BETA<br>(5,6, 15,4) | 0,37 + ERLA<br>(0,0894, 4) | 0,13 + 0,27 *<br>BETA<br>(0,954, 1,57) | TRIA<br>(0, 0,607, 1,7) | EXPO<br>(0,16)             |
| VA Time<br>(TA)               | 0.2089                   | 2.1850              | 1.6731                    | 0.4190                               | 0.7349                     | 0.2312                                 | 0.7681                  | 0.1651                     |
| TF (min)                      | 0                        | 38.0773             | 148.28                    | 0.0134768                            | 0.04022203                 | 197.4                                  | 210.46                  | 0                          |
| TS (min)                      | 0.2089                   | 40.1357             | 149.43                    | 0.4325                               | 0.7751                     | 197.54                                 | 210.89                  | 0.1651                     |
| NF (kg)                       | 0                        | 19.6998             | 238.9                     | 0.00226437                           | 0.0063684                  | 4812.4                                 | 2177.61                 | 0                          |
| M                             | 4                        | 1                   | 1                         | 1                                    | 1                          | 1                                      | 1                       | 3                          |
| TOS (%)                       | 0,00430847<br>(0,4308 %) | 0,9745<br>(97,45 %) | 0,9999<br>(99,99 %)       | 0,06779101<br>(6,7791 %)             | 0,1144<br>(11,44 %)        | 1,0000<br>(100 %)                      | 1,0000<br>(100 %)       | 0,00905816<br>(0,905816 %) |
| Entidade<br>s entrada<br>(kg) | 39.5833                  | 250.75              | 769.96                    | 77.7917                              | 74.8333                    | 11682.17                               | 4980.92                 | 79.0833                    |
| Entidade<br>s saída<br>(kg)   |                          |                     |                           |                                      |                            |  |                         |                            |

Fonte: Adaptado de Faria (2012)

Destacou-se em amarelo os valores referentes às variáveis que caracterizam na simulação deste sistema, anterior a automatização, a presença de gargalos, que são: número de clientes na fila (NF), número de servidores (M) e taxa de ocupação do sistema (TOS).

Analisando os valores de NF presentes na tabela percebem-se diferenças e uma grande amplitude entre os valores, o que indica espera de clientes na fila e formação de filas.

Já os valores de TOS, nessa primeira simulação antes da automatização, verificou alta taxa de ocupação nos seguintes servidores: Aglutinação (97,45%), Recuperação (99,99%), Corte 1 (100%) e Corte 4 (100%). A TOS próxima aos 100% significa dizer que o número de servidores (M) ou de funcionários está em operação durante em alguns desses setores de 97,45% a 100% do tempo, o que mostra que existe instabilidade nestes processos citados. Acredita-se que a taxa de ocupação considerada razoável de cada servidor (máquina) contendo um recurso ou funcionário na organização, de acordo com Faria (2012), seria nesse caso de 75%.

A partir desse mesmo modelo de simulação e após a automatização do servidor recuperador da empresa Beta, uma nova simulação foi realizada. Terminado a simulação se gerou os seguintes novos resultados e variáveis relevantes após a automatização da troca de filtro da máquina recuperadora, mostradas na tabela 3, e comparadas as TOS nas figuras 13 e 14.

Tabela 3: Cenário atual após a automatização

Cenário Após Automatização - Cenário Atual

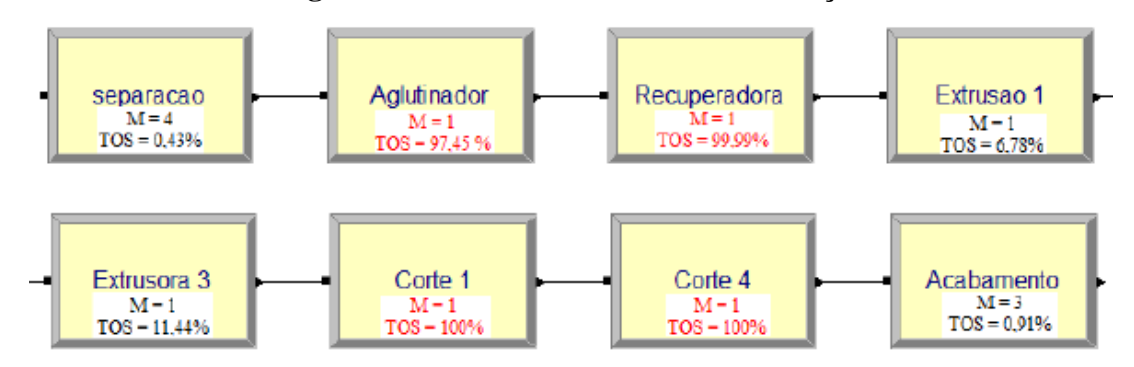
Número de Replicações = 24

Tempo da Simulação = 8 horas

|                           | Separador                | Aglutinador                      | Recuperadora            | Extrusora 1            | Extrusora 3                  | Corte 1                                | Corte 4                  | Acabamento               |
|---------------------------|--------------------------|----------------------------------|-------------------------|------------------------|------------------------------|--|--------------------------|--------------------------|
| IC (min)                  | EXPO                     | EXPO                             | EXPO                    | EXPO                   | EXPO                         | EXPO                                   | EXPO                     | EXPO                     |
| ic (iiiii)                | (12,576)                 | (1,923)                          | (0,6197)                | (6,1037)               | (6,1037)                     | (0,0411)                               | (0,0962)                 | (6,25)                   |
| TA (min)                  | 1 + GAMM(0.266,<br>4.62) | 1.5 + 9 *<br>BETA(1.37,<br>2.05) | 0.13 + WEIB(2.01, 5.63) | NORM(0.463,<br>0.0871) | -0.001 +<br>WEIB(0.98, 7.06) | 0,13 + 0,27 *<br>BETA<br>(0,954, 1,57) | 6 * BETA(0.598,<br>2.04) | 4 * BETA(0.685,<br>1.66) |
| VA Time (TA)              | 2.2291                   | 13.8585                          | 1.9809                  | 0.4652                 | 0.9216                       | 0.2317                                 | 1.3795                   | 1.1673                   |
| TF (min)                  | 0.00                     | 199.17                           | 163.58                  | 0.02015669             | 0.0904                       | 197.68                                 | 221.8                    | 0.00034695               |
| TS (min)                  | 2.2291                   | 206.96                           | 164.89                  | 0.4855                 | 1.0122                       | 197.82                                 | 222.53                   | 1.1676                   |
| NF (kg)                   | 0.00                     | 108.92                           | 262.24                  | 0.00330268             | 0.01508066                   | 4783.29                                | 2326.67                  | 0.00005566               |
| M                         | 5                        | 1                                | 1                       | 1                      | 1                            | 1                                      | 1                        | 3                        |
| TOS (%)                   | 0.03635101<br>(03,63%)   | 1<br>(100%)                      | 1<br>(100%)             | 0.07486181<br>(7,48%)  | 0.1514<br>(15,14%)           | 1<br>(100%)                            | 1<br>(100%)              | 0.06632410<br>(6,63%)    |
| Entidades<br>entrada (kg) | 38.9583                  | 34.3333                          | 241.83                  | 77.2083                | 78.7917                      | 2070.75                                | 348.13                   | 81.4583                  |
| Entidades<br>saída (kg)   | 2971 por hora            |                                  |                         |                        |                              |  |                          |                          |

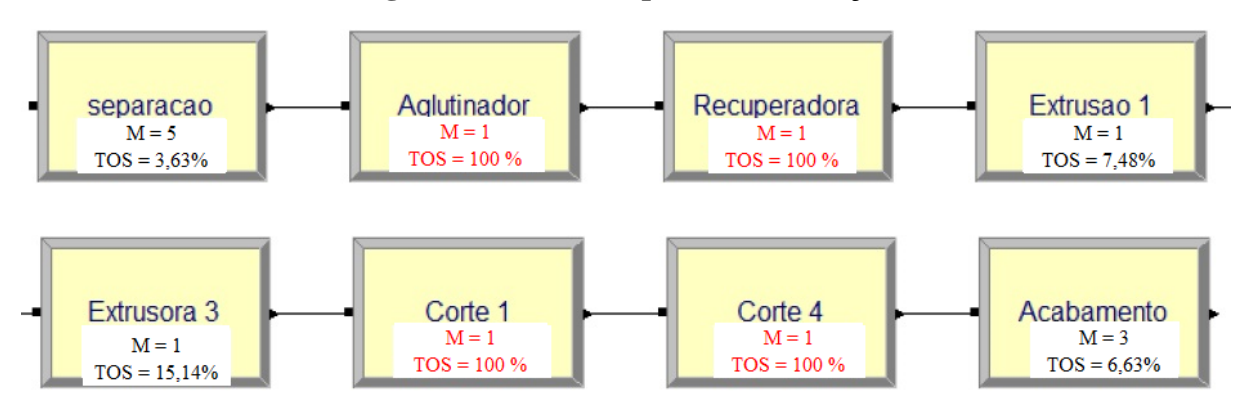
Fonte: Dados de pesquisa

Figura 13: Cenário antes da automatização



Fonte: Adaptado de Faria (2012)

Figura 14: Cenário após automatização



Fonte: Elaborada pelos autores

Comparando os dois cenários, contata-se que houve mudanças chamativas em alguns valores das TOS dos setores. Ocorreu aumento, mas não muito significativo na Separação de 0,43% para 3,63%, Extrusão 1 de 6,78% para 7,48%, Extrusão 3 de 11,44% para 15,14%, e Acabamento de 0,91% para 6,63%. No geral, desses setores citados, o aumento da TOS não representa preocupação para a empresa Beta, exceto os setores de Aglutinação, Corte 1, Corte 4 e a Recuperadora, porque os números mostram que os servidores estão operando 100% do tempo e indicam instabilidade no sistema. Para haver uma diminuição significativa da TOS e ter uma melhor estabilidade, uma alternativa é aumentar o número de servidores (M) para assim balancear e diluir a quantidade de produtos semiacabados processados, mas isso implicaria em altíssimo investimento em maquinário.

A seguir, nas figuras 15 e 16, está a representação gráfica de fácil visualização para análise dos resultados da taxa de ocupação dos servidores (TOS) entre o antes e depois da automatização do servidor recuperadora do sistema:

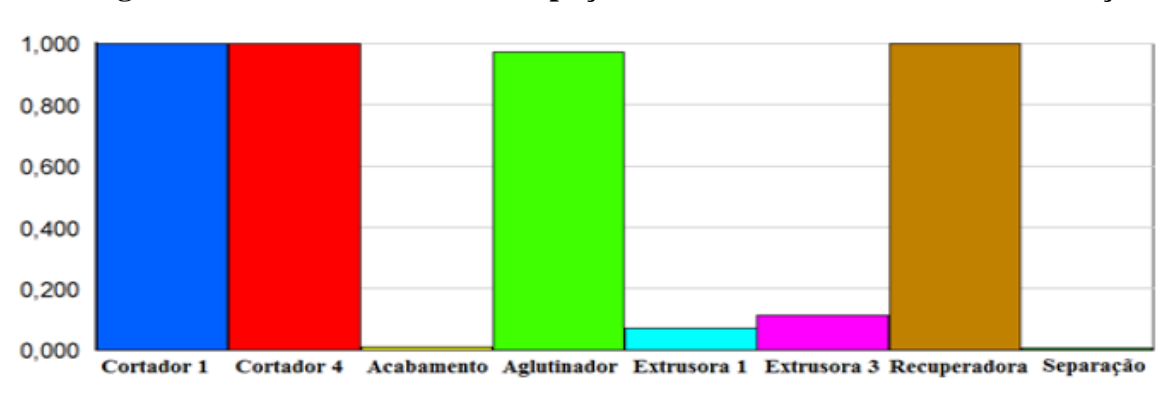


Figura 15: Gráfico da taxa de ocupação de servidores antes da automatização

Fonte: Adaptado de Faria (2012)

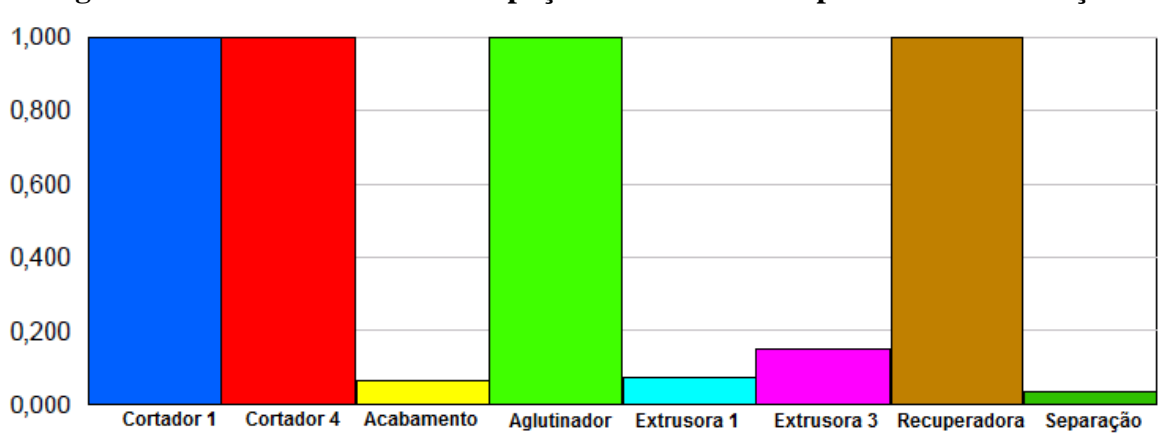


Figura 16: Gráfico da taxa de ocupação de servidores depois da automatização

Portanto, pode-se perceber, visualmente, que houve um aumento da TOS nos servidores de Acabamento, Aglutinador, Extrusora 1, Extrusora 3, e Separação, que junto com os demais setores refletiram no tempo em fila (TF) como se pode perceber na tabela 5.

Tabela 5: Apuração do tempo em fila dos cenários anterior e atual

|  | Número de Replicações = 24 |           |             |              |             |             | Tempo da Simulação = 8 horas |         |            |  |
|--|----------------------------|-----------|-------------|--------------|-------------|-------------|------------------------------|---------|------------|--|
|  |                            | Separador | Aglutinador | Recuperadora | Extrusora 1 | Extrusora 3 | Corte 1                      | Corte 4 | Acabamento |  |
| Cenário Anterior (antes automatização) |                            |           |             |              |             |             |                              |         |            |  |
| TF (min)                               |                            | 0         | 38.0773     | 148.28       | 0.0134768   | 0.04022203  | 197.4                        | 210.46  | 0          |  |
| Cenário Atual (após automatização)     |                            |           |             |              |             |             |                              |         |            |  |
| TF (min)                               |                            | 0         | 199.17      | 163.58       | 0.02015669  | 0.0904      | 197.68                       | 221.80  | 0.00034695 |  |

Fonte: Dados de pesquisa

A tabela 5, gerada após os relatórios de cenários antigos (em amarelo) e atuais (em verde) da empresa Beta de antes e após a automatização, representa de forma geral mudanças pouca significativas entre os tempos de fila dos setores, exceto no Aglutinador. Chama-se a atenção a esse setor, principalmente, devido ao aumento de 38 para 199 minutos de tempo de fila para que um quilograma leva a ser manufaturado. Acredita-se que um dos motivos do aumento do TF da aglutinação se deu em conta de nos dias da coleta coincidir a empresa Beta ter uma grande demanda bastante variada de materiais, cerca de cinco tipos de materiais e procedimentos de aglutinação diferentes. Já os demais setores permanecem com os mesmo tempos em fila ou tiveram aumentos poucos significativos; setores Separador, Extrusora 1, Extrusora 3, Recuperadora e Acabamento. No entanto, a tabela e os gráficos representam resultados positivos e adequados na questão de fornecer dados concretos que auxiliam tomar decisões de possíveis melhorias (criação de cenários no *software* ARENA<sup>TM</sup>), possibilitando criar sugestões de redução dos gargalos que podem ser alcançados pela diminuição da espera de produtos semiacabados, que são os clientes, esperando em fila para serem atendidos e processados.

Os números em minutos representam o tempo que um quilograma (kg) de material plásticos aguarda em fila para ser manufaturado. Analisando dessa maneira, chega-se a notáveis mudanças nos servidores, principalmente, na aglutinadora em relação ao cenário anterior:

 Aglutinador: 80% de aumento do tempo de espera em fila de um quilograma de material.

- Recuperadora: 10% de aumento do tempo de espera em fila de um quilograma de material.
- Corte 4: 10% de aumento do tempo de espera em fila de um quilograma de material.

Em relação ao setor específico de estudo, na tabela 6 têm-se os resultados das variáveis relevantes da recuperadora, antes e após a automatização.

Tabela 6: Cenário atual e anterior recuperadora

|                         | Recuperadora Antes<br>Automatização | Recuperadora<br>Automatizada |
|-------------------------|-------------------------------------|------------------------------|
| IC (min)                | EXPO                                | EXPO                         |
| IC (IIIII)              | (0,6197)                            | (0,6197)                     |
| TA (min)                | 1 + WEIB                            | 0.13 + WEIB(2.01,            |
| TA (IIIII)              | (0,749, 1.55)                       | 5.63)                        |
| VA Time (TA)            | 1.6731                              | 1.9809                       |
| TF (min)                | 148.28                              | 163.58                       |
| TS (min)                | 149.43                              | 164.89                       |
| NF (kg)                 | 238.9                               | 262.24                       |
| M                       | 1                                   | 1                            |
| TOC (0/)                | 0,9999                              | 1                            |
| TOS (%)                 | (99,99%)                            | (100%)                       |
| Entidades               | 769.96                              | 769,46                       |
| entrada (kg)            | /09.90                              | 709,40                       |
| Entidades saída<br>(kg) | 286.33                              | 241.83                       |

Fonte: Dados de pesquisa

Constatam-se em destaque que apesar da automatização da máquina recuperadora a mesma não acarretou grandes mudanças ou diferenças no resultado do processo de manufatura como um todo em relação ao cenário anterior em que a troca de filtro era manualmente feita. Porém, existe um ganho em relação ao tempo para o funcionário desenvolver outra função ou ajudar em outra atividade na empresa, uma vez que a troca manual gastava-se cerca de 15 minutos por troca em cada operação e agora em apenas alguns segundos. Considerando que são feitas em média sete trocas de filtro por dia, ocorreu uma economia de tempo de aproximadamente 1 hora e 45 minutos por dia. Analisando-se os dados, chama-se a atenção novamente em relação à taxa de ocupação do servidor (TOS).

Percebe-se que a TOS continua alta mesmo após a automatização e chegou agora aos 100%, o que significa que está em operação todo o tempo e o sistema de processamento de manufatura está com uma instabilidade e gargalos na linha.

A comparação dos cenários antigos e atuais serve para inferir que a automatização foi satisfatória em termos de aumentar o valor agregado do funcionário para a organização. Entretanto, nem sempre uma automatização de um processo significa ganhos finais de produção uma vez que na empresa de estudo o gargalo permanece no setor de Corte. Dias *et. al.* (2013) mostra que em algumas situações a automatização não é viável, principalmente em empresas de pequeno porte.

As empresas, principalmente as de pequeno porte, possuem recursos financeiros na maioria das vezes escassos, para novos investimentos, desta forma, o auxilio das ferramentas de Pesquisa Operacional vem pra auxiliar os gestores na tomada de decisão, como encontrar as áreas dentro da empresa que necessitam de mais atenção, ou mesmo investimento. Uma correta e confiável coleta de dados, válida a ferramenta, fazendo com que estes possam ser utilizados de forma a se obter informações úteis na tomada de decisão. (DIAS *ET.AL.*, 2013)

A partir dos dados atuais da empresa Beta, foram criados cenários ideais no *software* ARENA<sup>TM</sup> através da ferramenta *Process Analyzer* para o processo de manufatura com o número adequado de número de servidores (M) para atender a linha, a figura 17 mostram os cenários gerados.

Figura 17: Cenários gerados no Process Analyzer

|                     | ¯  |            | ur         |              |            |            |            |            |            | - E        | ,           | au          |             |             |             |             |             |             |             |             | -J~         |             |             |             |             |
|---------------------|--|------------|------------|--------------|------------|------------|------------|------------|------------|------------|-------------|-------------|-------------|-------------|-------------|-------------|-------------|-------------|-------------|-------------|-------------|-------------|-------------|-------------|-------------|
|                     | OperadorRec<br>aperadora.Sc  | 1.000      | 0.999      | 0.988        | 0.991      | 0.890      | 0.987      | 0.993      | 0.988      | 0.792      | 0.797       | 0.793       | 0.799       | 0.803       | 962'0       | 0.802       | 0.794       | 0.651       | 0.645       | 0.801       | 0.804       | 0.801       | 0.791       | 0.802       | 0.803       |
|                     | perador Aglu (<br>adora. Sche u  | 1.000      | 0.997      | 0.998        | 0.998      | 0.998      | 0.998      | 0.998      | 966.0      | 0.997      | 0.997       | 0.997       | 0.995       | 0.993       | 0.989       | 0.989       | 966.0       | 0.995       | 0.993       | 0.991       | 0.991       | 0.992       | 0.992       | 0.975       | 0980        |
| Responses           | ortador4.Sc O  | 1.000      | 0.999      | 0.999        | 0.999      | 0.999      | 0.999      | 0.999      | 0.999      | 0.999      | 0.999       | 0.999       | 0.998       | 966.0       | 0.999       | 0.998       | 966.0       | 966.0       | 986.0       | 0.998       | 0.998       | 0.998       | 0.985       | 0.985       | 0.988       |
|                     | Cortador1.Sc   Cortador4.Sc   OperadorAgiu   OperadorRec   heduledLitiliza   heduledLitiliza   tinadora.Sche   uperadora.Sc  | 1.000      | 0.937      | 0.937        | 0.938      | 0.940      | 0.805      | 0.702      | 0.705      | 0.804      | 0.804       | 0.803       | 0.803       | 0.805       | 0.805       | 0.802       | 908.0       | 0.805       | 0.804       | 0.804       | 0.805       | 908.0       | 908.0       | 0.805       | 0.803       |
|                     | system.Numb C<br>erout h   | 2971.458   | 15280.750  | 15494.292    | 15518.458  | 15539.708  | 15885.167  | 15834.917  | 15910.667  | 15921.833  | 15928.833   | 15905.042   | 16305.667   | 16374.625   | 16053.750   | 16347.250   | 16330.833   | 16343.917   | 16350.333   | 16707.125   | 16708.708   | 17079.875   | 17721.167   | 17769.083   | 17796.958   |
|                     | OperadorSep S<br>arador  | 5.0000     | 5.0000     | 5.0000       | 1.0000     | 5.0000     | 3.0000     | 1.0000     | 2.0000     | 1.0000     | 1.0000      | 1.0000      | 1.0000      | 1.0000      | 1.0000      | 1.0000      | 1.0000      | 1.0000      | 1.0000      | 1.0000      | 2.0000      | 1.0000      | 1.0000      | 1.0000      | 1.0000      |
|                     | OperadorRec (  | 1.0000     | 2.0000     | 3.0000       | 3.0000     | 3.0000     | 3.0000     | 3.0000     | 3.0000     | 4.0000     | 4.0000      | 4.0000      | 4.0000      | 4.0000      | 4.0000      | 4.0000      | 4.0000      | 5.0000      | 5.0000      | 4.0000      | 4.0000      | 4.0000      | 4.0000      | 4.0000      | 4.0000      |
|                     | OperadorExtrusor<br>a3   | 1.0000     | 1.0000     | 1.0000       | 1.0000     | 1.0000     | 1,0000     | 1.0000     | 1.0000     | 1.0000     | 1.0000      | 1,0000      | 1,0000      | 1.0000      | 1,0000      | 1,000       | 1.0000      | 1.0000      | 1.0000      | 1.0000      | 1.0000      | 1.0000      | 1,0000      | 1,0000      | 1.000       |
| Controls            | Operador Aca Operador Agiu Operador Extrusor Operador Extrusor Operador Rec Operador Rec Operador Septembro Septembr | 1,0000     | 1,0000     | 1,0000       | 1,0000     | 1,0000     | 1.0000     | 1.0000     | 1.0000     | 1,0000     | 1.0000      | 1.0000      | 1,0000      | 1.0000      | 1,0000      | 1,0000      | 1.0000      | 1.0000      | 1,0000      | 1,0000      | 1.0000      | 1.0000      | 1,0000      | 1.0000      | 1.0000      |
| 0                   | Operador Aglu C<br>tinadora  | 1.0000     | 2.0000     | 2.0000       | 2.0000     | 2.0000     | 2.0000     | 2.0000     | 2.0000     | 2.0000     | 2.0000      | 2.0000      | 3.0000      | 4.0000      | 5.0000      | 5.0000      | 3.0000      | 3.0000      | 4.0000      | 4.0000      | 4.0000      | 4.0000      | 4.0000      | 6.0000      | 8.0000      |
|                     | Operador Aca (   | 3.0000     | 3.0000     | 1.0000       | 1,000      | 3.0000     | 3.0000     | 1.0000     | 3.0000     | 3,0000     | 2.0000      | 1.0000      | 2.0000      | 2.0000      | 2.0000      | 2.0000      | 1.0000      | 2.0000      | 2.0000      | 2.0000      | 2.0000      | 2.0000      | 2.0000      | 2.0000      | 2.0000      |
|                     | Cortador4  | 1.0000     | 8.0000     | 8.0000       | 8.0000     | 8.0000     | 9.0000     | 9.000      | 9.000      | 9:000      | 9:000       | 9.0000      | 10.0000     | 10.0000     | 9.000       | 10.0000     | 10.0000     | 10.0000     | 10.0000     | 11.0000     | 11.0000     | 12.0000     | 14.0000     | 14.0000     | 14.0000     |
|                     | Cortador1  | 1.0000     | 6.0000     | 6.0000       | 6.0000     | 6.0000     | 7.0000     | 8.0000     | 8.0000     | 7.0000     | 7,0000      | 7.0000      | 7.0000      | 7.0000      | 7.0000      | 7.0000      | 7.0000      | 7.0000      | 7.0000      | 7.0000      | 7,0000      | 7.0000      | 7.0000      | 7.0000      | 7.0000      |
| ties                | Reps   | 24         | 74         | 74           | 73         | 74         | 24         | 74         | 74         | 73         | 73          | 24          | 24          | 74          | 74          | 74          | 74          | 74          | 74          | 73          | 73          | 74          | 24          | 74          | 75          |
| Scenario Properties | Name   | Scenario 1 | Scenario 2 | Scenario 3   | Scenario 4 | Scenario 5 | Scenario 6 | Scenario 7 | Scenario 8 | Scenario 9 | Scenario 10 | Scenario 11 | Scenario 12 | Scenario 13 | Scenario 14 | Scenario 15 | Scenario 16 | Scenario 17 | Scenario 18 | Scenario 19 | Scenario 20 | Scenario 21 | Scenario 22 | Scenario 23 | Scenario 24 |
| V)                  | W  | *          | *          | <del>ب</del> | *          | 2          | 9          | *          | *          | 6          | 100         | 17          | 12 🍾        | 13          | 14          | 15          | 16          | 7           | 18          | 19          | 28          | 72          | 22          | 23          | 24          |
|                     |  | _          | 7          | (1)          | ব          | A)         | Ψ          | ~          | ∞          | S          | F           | ÷           | -           | ÷           | Ť           | ÷           | Ĩ.          | -           | ~           | Ę.          | N           | 7           | 2           | Ż           | Ň           |

Diversos cenários foram criados e aquele que gerava maior valor de produção final de saída e gerava maior estabilidade no sistema foi escolhido, no caso, o Cenário 24, que é mostrado na tabela 7 e no Anexo 2 deste trabalho com mais detalhes.

Tabela 7: Cenário ideal após a automatização (Cenário 24)

Tempo da Simulação = 8 horas

|                        | Separador             | Aglutinador | Recuperadora | Extrusora 1     | Extrusora 3 | Corte 1       | Corte 4     | Acabamento  |
|------------------------|-----------------------|-------------|--------------|-----------------|-------------|---------------|-------------|-------------|
| IC (min)               | EXPO (12,576)         | EXPO        | EXPO         | EXPO            | EXPO        | EXPO          | EXPO        | EXPO        |
| IC (IIIII)             | EAPO (12,370)         | (1,923)     | (0,6197)     | (6,1037)        | (6,1037)    | (0,0411)      | (0,0962)    | (6,25)      |
|                        |                       | 1.5 + 9 *   | 0.13 +       | NODM            | -0.001 +    | 0,13 + 0,27 * | 6 *         | 4 *         |
| TA (min)               | 1 + GAMM(0.266, 4.62) | BETA(1.37,  | WEIB(2.01,   | NORM            | WEIB(0.98,  | BETA          | BETA(0.598, | BETA(0.685, |
|                        |                       | 2.05)       | 5.63)        | (0.463, 0.0871) | 7.06)       | (0,954, 1,57) | 2.04)       | 1.66)       |
| VA Time (TA)           | 2.2203                | 13.7589     | 1.9834       | 0.4596          | 0.9158      | 0.2317        | 1.359       | 1.1768      |
| TF (min)               | 0.2337                | 4.9892      | 0.8338       | 0.0186068       | 0.06688989  | 0.04738706    | 6.3775      | 0.00663133  |
| TS (min)               | 2.4542                | 18.7317     | 2.8179       | 0.4782          | 0.9826      | 0.2791        | 7.7194      | 1.1834      |
| NF (kg)                | 0.020567              | 2.63        | 1.3641       | 0.00297588      | 0.01087113  | 1.151         | 66.9974     | 0.00108975  |
| M                      | 1                     | 8           | 4            | 1               | 1           | 7             | 14          | 2           |
| TOG (A/)               | 0.1879                | 0.8601      | 0.8031       | 0.07351109      | 0.1471      | 0.8030        | 0.9880      | 0.0908      |
| TOS (%)                | (18,79%)              | (86,01%)    | (80,31%)     | (7,35%)         | (14,71%)    | (80,30%)      | (98.80%)    | (9,08%)     |
| Entidades entrada (kg) | 40.6667               | 245.54      | 779.88       | 76.7917         | 77.125      | 11649.58      | 5018.75     | 74.3333     |
| Entidades saída (kg)   |                       |             |              | 17797 por hora  |             |               |             |             |

Fonte: Dados de Pesquisa

Analisando os resultados e as variáveis geradas na tabela 7, percebe-se um grande ganho de produtividade e redução dos TF e TOS.

Comparando a tabela 3 (cenário atual) com a tabela 7 (cenário ideal) observam-se mudanças positivas nas taxas de ocupação dos servidores que são críticos. Aglutinação de 100% passou para 86%, Recuperadora de 100% passou para 80,31%, Corte 1 de 100% para 80,3% e Corte 4 de 100% para 98,8%. Isso foi fruto do aumento do número de servidores em cada setor em relação ao cenário atual, o que significou diluição dos gargalos e diminuição da instabilidade do sistema. Percebe-se a mudança visualmente no gráfico da TOS, ilustrado pela figura 18.

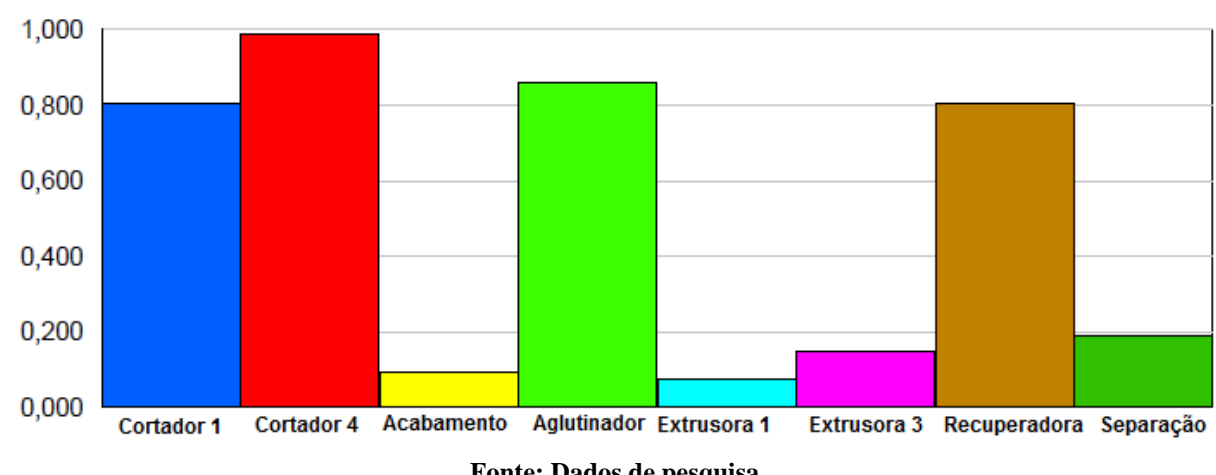


Figura 18: Gráfico da taxa de ocupação dos servidores no Cenário 24

Portanto, observa-se que os setores críticos com a criação de cenário ideal dado pelo software tiveram suas taxas de ocupação reduzida. Analisando a tabela 8, a seguir, se tem uma comparação apurada do tempo de fila.

Tabela 8: Apuração do tempo em fila dos cenários anterior e atual

|                            | Número                             | de Replicaçõe | s = 24       | Tempo da Simulação = 8 horas |             |         |         |                |  |
|----------------------------|------------------------------------|---------------|--------------|------------------------------|-------------|---------|---------|----------------|--|
|                            | Separador                          | Aglutinador   | Recuperadora | Extrusora 1                  | Extrusora 3 | Corte 1 | Corte 4 | Acabamen<br>to |  |
|                            | Cenário Atual (após automatização) |               |              |                              |             |         |         |                |  |
| TF (min)                   | 0                                  | 199.17        | 163.58       | 0.02015669                   | 0.0904      | 197.68  | 221.80  | 0.000347       |  |
| Cenário Ideal (Cenário 24) |                                    |               |              |                              |             |         |         |                |  |
| TF (min)                   | 0.2337                             | 4.9892        | 0.8338       | 0.0186068                    | 0.06688989  | 0.04739 | 6.3775  | 0.0066313      |  |

Fonte: Dados de Pesquisa

Nota-se que todos os tempos de fila reduziram após a criação do Cenário 24. A redução do tempo de espera em fila é muito importante, uma vez que significa que a entidade (em quilogramas) entrou e deixou a fila de forma mais rápida e a taxa de atendimento está mais eficiente que o cenário anterior devido ao aumento de número de servidores (máquinas). Logo, consequentemente o número de saídas totais de entidades do sistema ficou bem maior, de 2971 kg/hora (quilogramas por hora) passou a ser 17797 kg/hora com a criação desse cenário 24.

Entretanto, vale ressaltar que o número atual de servidores (M) de 14 passou para 38 no cenário 24. Isto torna, evidentemente, inviável uma vez que significa em investimento altíssimo em maquinário novo e, consequentemente, contratação de mais funcionários para operação das mesmas, e também implicaria em fazer um rearranjo ou ampliar espaço físico da empresa. Tudo isso são medidas que se tornam totalmente inviáveis, portanto, pelo alto custo.

Todavia, devido a vivência dos analistas na empresa durante os dias de coleta de dados, algumas inferências e sugestões podem ser tomadas ao invés do alto investimento nos 24 maquinários:

- I. Manutenção de uma das máquinas extrusora e de, principalmente, três máquinas de corte que estão paradas;
- II. Contratação de novos funcionários e assim aumentar o número de recursos por servidor:
  - III. Aquisição de um novo aglutinador com maior capacidade produtiva;
- IV. Substituição de recursos (funcionárias mulheres por homens) no servidor corte ou automatização da troca da bobina plástica;
- V. Substituição dos servidores (máquinas) por outros mais modernos e avançados tecnologicamente.

Sem dúvida, qualquer uma das cinco sugestões, a empresa Beta irá ter que arcar com investimentos financeiros. Entretanto, são alternativas mais viáveis para se colocar em prática e melhorar o cenário atual da organização.

A primeira sugestão sugere-se a manutenção principalmente em três maquinários de corte que se encontram parados uma vez que existe uma alta taxa de ocupação dos servidores atuais em funcionamento nesse setor. Portanto, colocando os cinco cortes que existem na fábrica em funcionamento, com certeza se teria a diminuição da TOS, diminuição de gargalos nesse setor e consequentemente aumento na produtividade.

Em relação à segunda sugestão, é interessante o aumento do efetivo de funcionários para que os operadores dos servidores da empresa Beta não fiquem totalmente sobrecarregados. Sendo assim possam trabalhar com uma margem de tempo maior e caso ocorra qualquer eventualidade, existirá outro para substituição imediata. Além disso, a segunda sugestão serve como link com a primeira sugestão uma vez que voltando a operar todos os servidores se precisará de mais recursos.

Já em relação à terceira sugestão, uma vez que o setor de aglutinação é uma das primeiras etapas do processo de manufatura do plástico e também teve um alto TOS, acreditase que com a aquisição de mais um servidor seria interessante para equilibrar o sistema, diminuir o gargalo e diluir a taxa de atendimento nesse setor. Existem também no mercado, servidores (equipamentos) que automaticamente após a aglutinação transportam as entidades para o seguinte setor (no caso a recuperação).

A quarta sugestão se deu devido ao fato de os analistas observarem que os recursos (funcionários) atuais em operação no servidor tem dificuldade em fazer a troca das bobinas plásticas vindas do processo de extrusão e necessitam auxilio de outros recursos (funcionários). Percebe-se, portanto, que se perde tempo na troca (cerca de 7 minutos em média) e ajuste dos rolos (8 minutos em média) uma vez que os recursos atuais (funcionários do sexo feminino) não tem muita força física para carregar e acoplar a bobina no servidor de corte, uma vez que pesa em torno de 45 kg. Devido a essa necessidade de auxilio, ocorre a interrupção dos outros recursos (funcionários sexo masculino) de outros servidores (aglutinação e recuperação). Logo, o reajuste de recursos seria interessante ou até mesmo a automatização da troca de rolos ou bobinas se faz necessário para redução de tempo de *set-up*, porém vem novamente à questão de investimentos financeiros.

Por último, a quinta sugestão é vista como a melhor das alternativas apesar do alto investimento financeiro que se teria. Contudo, mesmo que com alto investimento que isto implica, em longo prazo é visto como uma excelente proposta uma vez que a empresa Beta tem produtos de qualidade, demanda crescente de produtos, clientes fidelizados e um bom mercado.

#### 6 CONCLUSÃO

A técnica de simulação é uma ferramenta de grande valia para melhorar o sistema produtivo de indústrias e serviços, escolhendo a melhor solução. Utilizou-se o modelo que se adequava ao sistema real da empresa Beta e representava melhor o sistema atual em estudo.

A construção do modelo de simulação ideal é fundamental para se chegar a conclusões reais e decisões que podem ser futuramente tomadas. Através do modelo de simulação é possível identificar os tempos em fila das entidades e, principalmente, os gargalos que atrapalham o fluxo produtivo.

O modelo anterior, previamente desenvolvido, representava o cenário da empresa Beta anteriormente à automatização de um dos setores (recuperadora). Este modelo foi simulado e analisado com o intuito de estudar os tempos em fila, taxa de ocupação, e gargalos que haviam sido identificados no setor de corte.

A simulação e o modelo do estudo anterior foram importantes para a obtenção da base e a continuação do atual trabalho desenvolvido e estudado.

O modelo de simulação do processo de produção da empresa Beta após a implantação da máquina recuperadora foi gerado com sucesso a partir do *software* ARENA<sup>TM</sup>

Os relatórios de resultados que foram gerados pelo programa foram fundamentais para se descobrir a formação de filas, a taxa de ocupação e gargalos no sistema de produção da empresa. Além de informar, também, a quantidade de entrada e saída de entidades de cada processo e de saída total do sistema de produção.

A partir da análise dos resultados atuais de simulação realizada pelos analistas, a automatização da troca de filtros da máquina recuperadora da indústria Beta, constatou-se que houve um grande ganho em termos de aumento do valor agregado do funcionário para a organização em desenvolver outras atividades, tarefas ou auxílios em outros servidores. A automatização representou também um aumento tímido de produtividade, atendeu em termos de melhoria de qualidade e agregou valor ao produto.

Concluiu-se que houve um significativo ganho de cerca de duas horas por dia no tempo de trabalho do funcionário com a automatização do servidor recuperação. Em relação à produção total de manufatura os valores das entidades de saída se mantiveram próximos e não tiveram grandes diferenças, continuando em torno de 3000 quilogramas por hora. Portanto, a decisão de automatizar o processo de recuperação do plástico foi de grande valia para a empresa Beta. Entretanto, sugerem-se ainda outras melhorias para se reduzir a taxa de ocupação dos servidores (TOS) dos processos Corte 1, Corte 4, Recuperadora e Aglutinadora.

Pode se perceber que as modelagens e simulações através de *softwares* podem ser refeitas para apontar melhores soluções usando modelos válidos no mundo real. O trabalho, portanto, mostrou que a simulação é uma ferramenta que auxilia no planejamento estratégico, uma vez que descobre as possíveis formações de filas (que em algumas situações poderão formar os gargalos), permitindo a identificação de diversos cenários para implantação de melhorias em setores problemáticos sem a necessidade intervenção no sistema real.

#### REFERÊNCIAS

ACKOFF, Russell L; SASIENI, Maurice W. **Pesquisa Operacional.** 1. ed. Rio de Janeiro: LTC, 1977.

ALMEIDA, Maria Aparecida Fernandes. **Simulação de Sistemas: Notas de Aula.** Belo Horizonte, [s.n.], 2009.

ALMEIDA, Maria Aparecida Fernandes. **Pesquisa Operacional: Notas de Aula.** Belo Horizonte, [s.n.], 2010.

ALVIM, Rafael Soares Pissolato. **Planejamento de Capacidade Ferroviária Via Simulação.** 70p. 2009. Monografia (Conclusão do Curso) - Universidade Federal de Minas Gerais, Graduação em Engenharia de Controle e Automação, Escola de Engenharia. Belo Horizonte.

ANDRADE, Eduardo Leopoldino de. Introdução à Pesquisa Operacional: métodos e modelos para Análise de Decisão. 3. ed. Rio de Janeiro: LTC, 2004.

ASSOCIAÇÃO BRASILEIRA DA INDÚSTRIA PLÁSTICA. **Consumo de plástico.** São Paulo, 2013. Disponível em: <a href="http://www.abiplast.org.br/noticias/consumo-de-plastico-cresce-85-em-2012/20130226110106\_P\_824">http://www.abiplast.org.br/noticias/consumo-de-plastico-cresce-85-em-2012/20130226110106\_P\_824</a> Acesso em: 02 mai. 2014.

ASSOCIAÇÃO BRASILEIRA DA INDÚSTRIA PLÁSTICA. **Consumo de plástico.** São Paulo, 2013. Disponível em: <a href="http://www.abiplast.org.br/site/os-plasticos">http://www.abiplast.org.br/site/os-plasticos</a> Acesso em: 01 mai. 2014.

BANKS, Jerry; CARSON, John S; NELSON, Barry L; NICOL, David M. **Discrete-event system simulation.** 5 ed. New Jersey: Prentice Hall, 2010.

BERTUCCI, Janete Lara de Oliveira. **Metodologia básica para elaboração de trabalhos de conclusão de cursos.** São Paulo: Atlas, 2008

BISCOTTO, Bernardo de Almeida. **A simulação de eventos discretos em uma indústria automotiva.** 59p. 2008. Monografia (Conclusão do Curso) — Universidade Federal de Juiz de Fora, Graduação em Engenharia de Produção, Departamento de Engenharia de Produção. Juiz de Fora.

DIAS, Carla Maria de Lima; PEREIRA, Gabriela Veloso; LIMA, Gisele Paz; SANTOS, Lilian de Fátima Costa; GARBI, Mariana Rezende Oliveira; ABELHA, Rita Alessandra Pereira Reis. **Otimização da ordem de produção de coletores de dados a fim de se maximizar o lucro.** 12f. 2013. Seminário - Universidade Federal de Itajubá, Pós-Graduação em Pesquisa Operacional, Itajubá.

FARIA, Danielle Brey-Gil. **Modelagem e simulação da manufatura em uma indústria de embalagens plásticas.** 61f. 2012. Monografia (Conclusão do Curso) — Pontifícia Universidade Católica de Minas Gerais, Graduação em Engenharia de Produção, Instituto Politécnico. Belo Horizonte.

FREITAS FILHO, Paulo José de. Introdução à modelagem e simulação de sistemas com aplicação em ARENA. 2. ed. Florianópolis: Visual Books, 2008.

LACHTERMACHER, Gerson. **Pesquisa operacional na tomada de decisões**. 3. ed. São Paulo: Campus, 2007.

MICHAELIS. **Dicionário Escolar Língua Portuguesa.** 2. ed. São Paulo: Melhoramentos, 2008.

MONTGOMERY, Douglas C.; RUNGER, George C. Estatística aplicada e probabilidade para engenheiros. Rio de Janeiro: Livros Técnicos e Científicos, 2009.

MORABITO, Reinaldo. **Pesquisa Operacional.** In: BATALHA, Mario Otavio (org.). **Introdução à Engenharia de Produção.** Rio de Janeiro: Elsevier, 2008.

MOREIRA, Daniel Augusto. **Administração da produção e operações.** 2. ed. São Paulo: Cengage Learning, 2013

NAYLOR, Thomas H. **Técnicas de Simulação em Computadores**. Petrópolis: Vozes, 1971.

PORTER, Michael E. Estratégia competitiva: técnicas para análise de indústrias e da concorrência. 2.ed. Rio de Janeiro: Elsevier, 2002.

PRADO, Darci Santos do. Teoria das Filas e da Simulação. 4. ed. Nova Lima: INDG, 2009.

PRADO, Darci Santos do. **Usando o ARENA em Simulação**. 4. ed. Nova Lima: INDG, 2009.

SINDICATO DA INDÚSTRIA DE MATERIAL PLÁSTICO DO ESTADO DE MINAS GERAIS. **Extrusão.** Belo Horizonte, 2014. Disponível em:

< http://www.simplast.com.br/associados/extrusao.php > Acesso em: 28 abr. 2014.

SINDICATO DA INDÚSTRIA DE MATERIAL PLÁSTICO DO ESTADO DE SÃO PAULO. **Guia ambiental da indústria de transformação e reciclagem de materiais.** São Paulo, 2011. Disponível em:

<a href="http://file.sindiplast.org.br/download/">http://file.sindiplast.org.br/download/</a> guia\_ambiental\_internet.pdf > Acesso em: 02 mai. 2014.

SLACK, Nigel; CHAMBERS; Stuart; JOHNSTON, Robert. **Administração da Produção.** 3. ed. São Paulo: Atlas, 2009.

SILVA, Isabela Cristina Borges. **Modelagem e simulação para análise de capacidade de Terminais de carga e descarga ferroviária.** 76f. 2012. Monografia (Conclusão do Curso) — Pontifícia Universidade Católica de Minas Gerais, Graduação em Engenharia de Produção, Instituto Politécnico. Belo Horizonte.

SOARES, José Francisco, FARIAS, Alfredo A., CESAR, Cibele Comini. **Introdução à Estatística.** Rio de Janeiro: Livros Técnicos e Científicos, 2003.

SOUZA, Bruno Santos de. **Aplicação da simulação como ferramenta de auxíliode decisão em uma indústria têxtil de grande porte.** 139f. 2010. Monografia (Conclusão do Curso) - Universidade de São Paulo, Graduação em Engenharia de Produção, Escola Politécnica. São Paulo.

TUBINO, Dalvio Ferrari. **Planejamento e Controle da Produção, teoria e prática**. 4. ed. São Paulo : Atlas, 2008.

# ANEXO A: DISTRIBUIÇÕES DE PROBABILIDADE DA CADA SETOR GERADA PELO INPUT ANALYZER.

Distribution Summary

Distribution Summary

Distribution Summary

Distribution Summary

Distribution Summary

Distribution Seea

Expression 0.61 + 1.02 \* SETA(1.03, 1.21)

Sogner Error: 0.70118

Solimoprove-Shirnov Test
Test Statistic = 0.143

Corresponding p-value > 0.15

Data Summary

Distribution See = 0.143

Corresponding p-value > 0.15

Data Summary

Dumber of Data Foints = 9

Min Data Value = 0.694

May Stata Value = 0.694

May Stata Value = 0.694

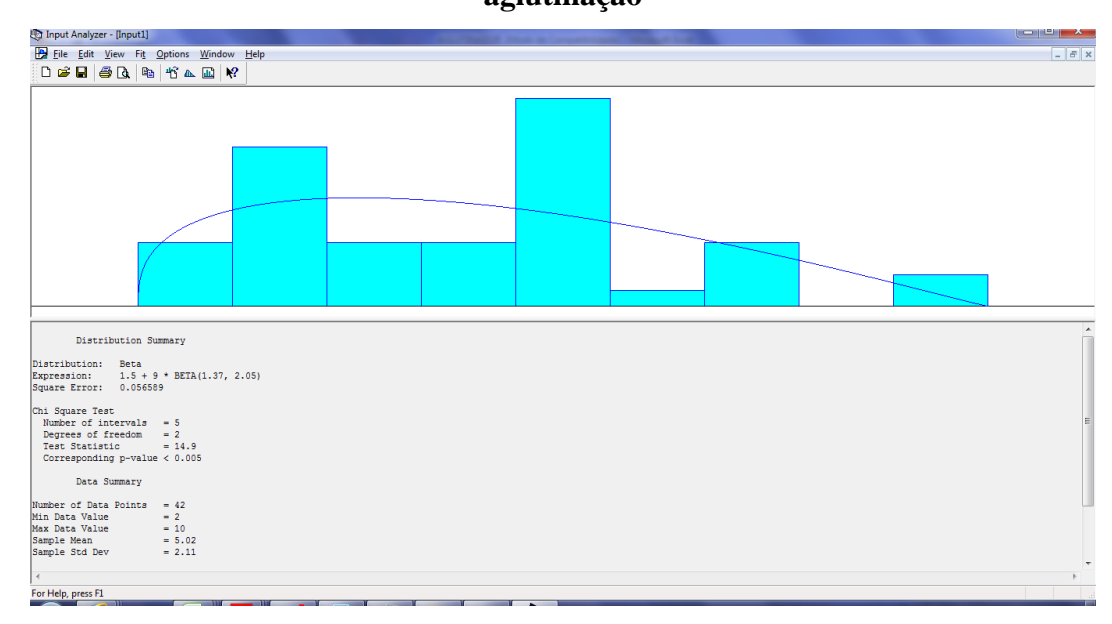
Solimoprove Summary

For Help, pres Fil

Figura 19: Distribuição gerada com os dados do processo de separação

Fonte: Dados de pesquisa

Figura 20: Distribuição de probabilidade gerada com os dados do processo de aglutinação



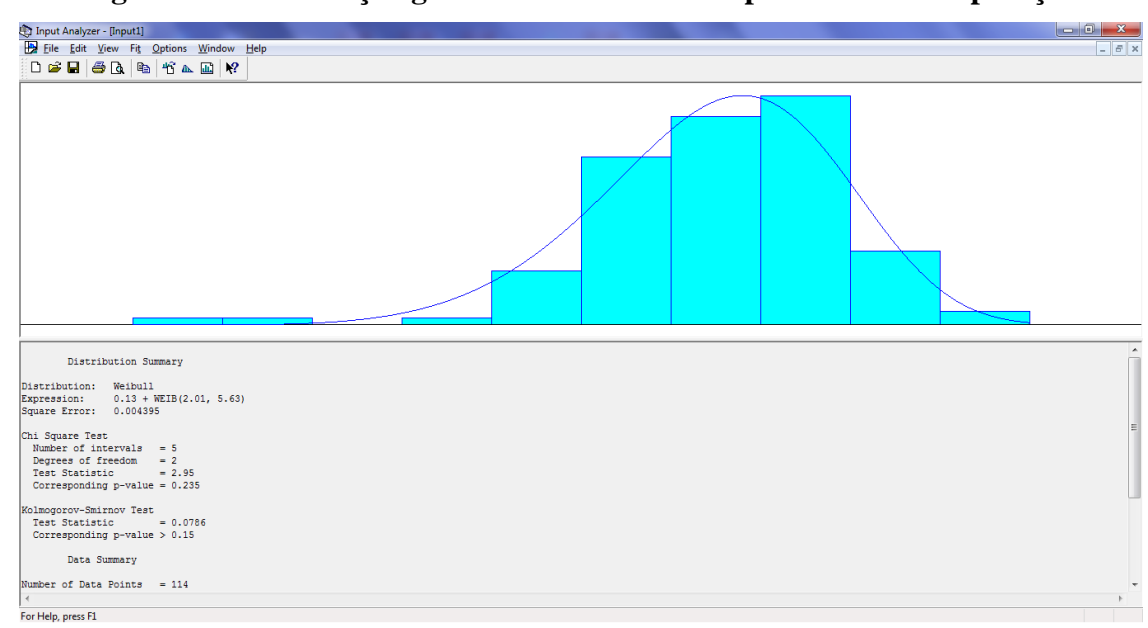


Figura 21: Distribuição gerada com os dados do processo de recuperação

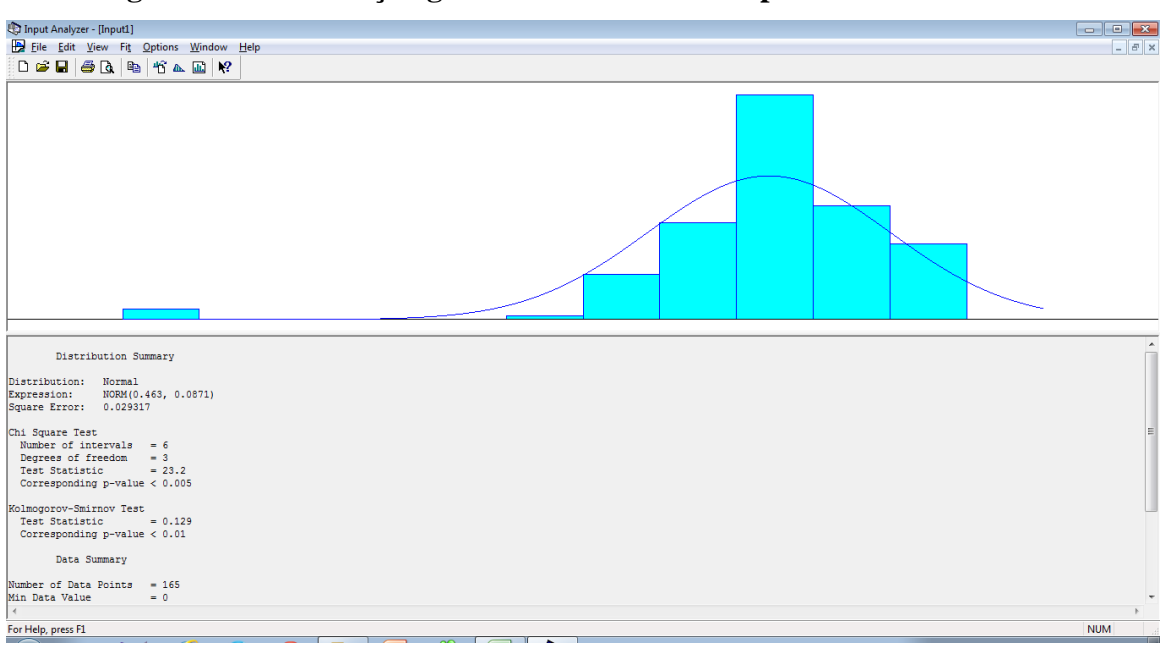


Figura 22: Distribuição gerada com os dados do processo de extrusão 1

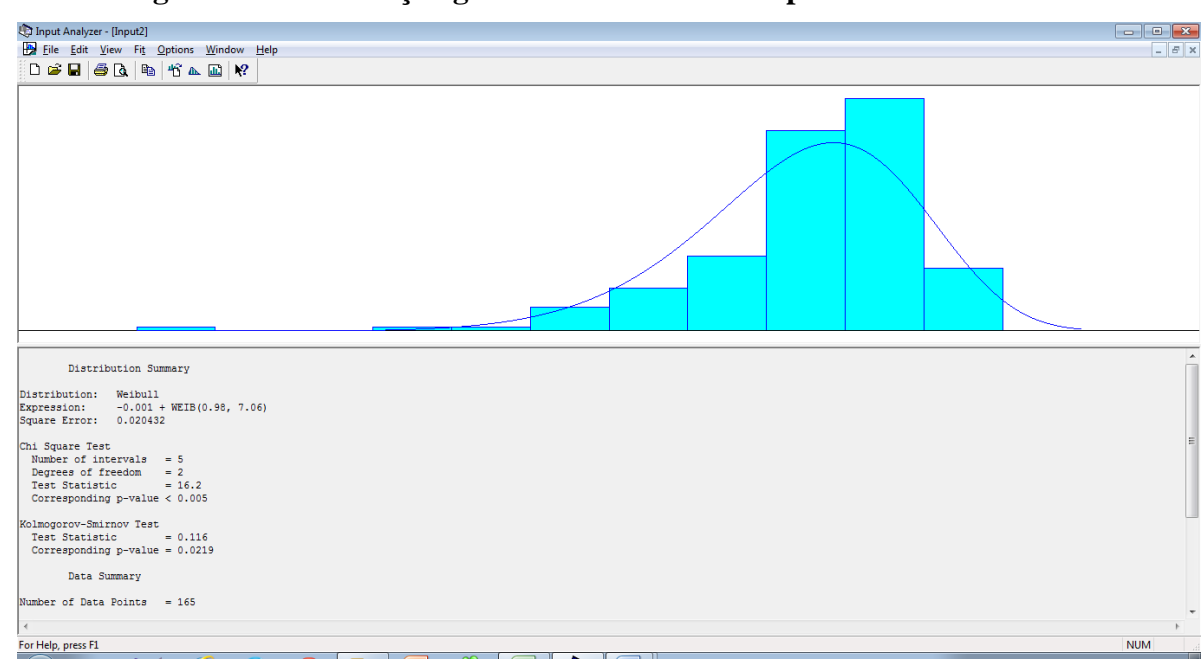


Figura 23: Distribuição gerada com os dados do processo de extrusão 3

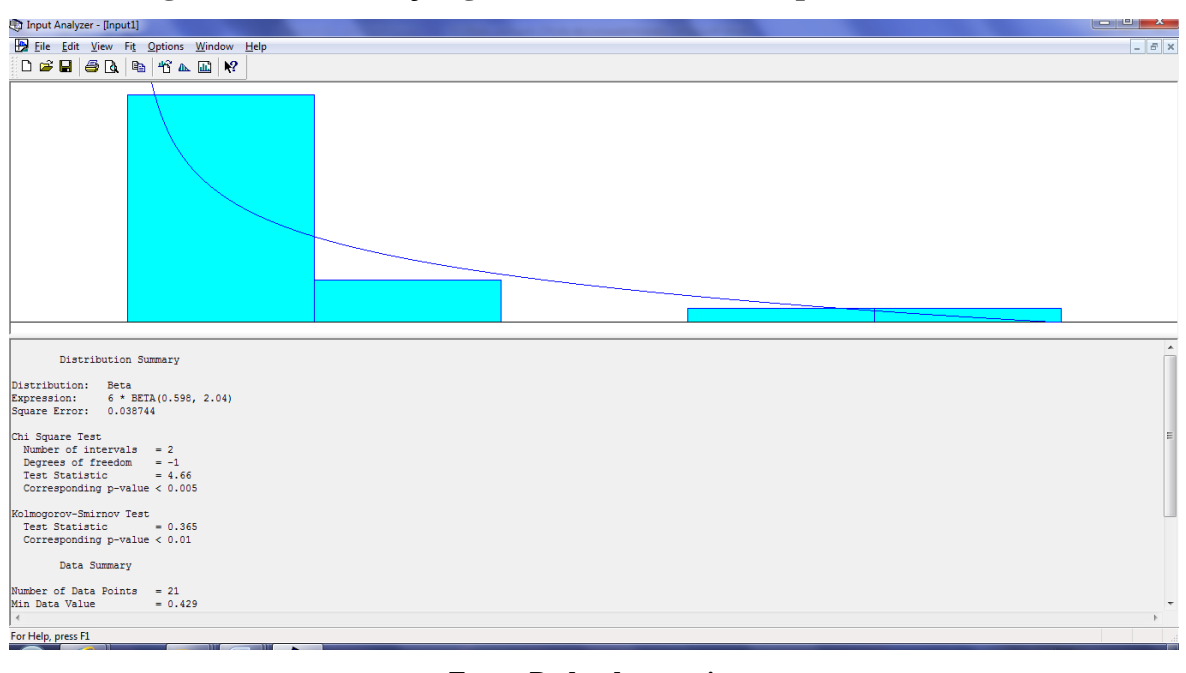


Figura 24: Distribuição gerada com os dados do processo de corte 4

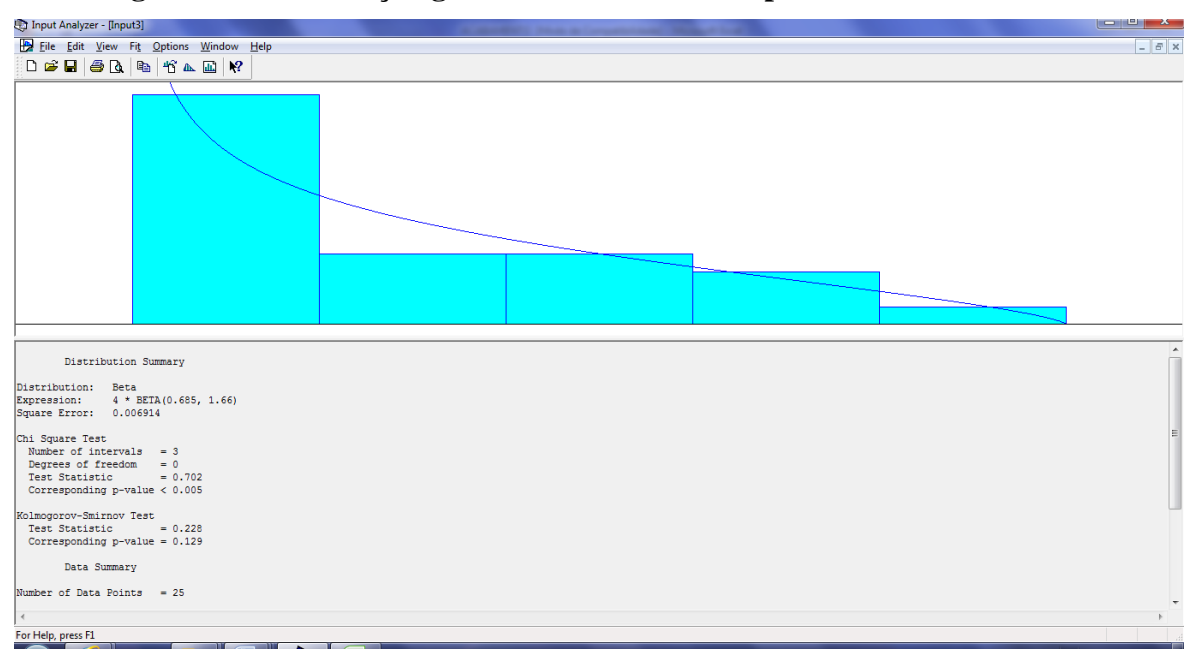


Figura 25: Distribuição gerada com os dados do processo de acabamento

## ANEXO B: RELATÓRIOS DA SIMULAÇÃO GERADOS PELO SOFTWARE AREN $\mathbf{A}^{\mathsf{TM}}$

Category Overview

Values Across All Replications novembro 7, 2014

Unnamed Project

12:59:44

Replications: 24 Time Units: Minutes

**Key Performance Indicators** 

System Average Number Out 17,797

Model Filename: C:\Users\430920\Desktop\Melhor Cenario2

13 Page

## Unnamed Project

Replications: 24 Time Units: Minutes

## Entity

#### Time

| VA Time                               | Average    | Half Width | Minimum<br>Average | Maximum<br>Average | Minimum<br>Value | Maximum<br>Value |
|---------------------------------------|------------|------------|--------------------|--------------------|------------------|------------------|
| Materialacabado                       | 1.1768     | 0,03       | 1.0454             | 1.3517             | 0.00005754       | 3.7869           |
| Materialagiutinado                    | 13.7589    | 0,23       | 12.7023            | 14.9434            | 5.5014           | 48.8870          |
| Materialcortado1                      | 0.2317     | 0,00       | 0.2303             | 0.2330             | 0.1300           | 0.3971           |
| MaterialCortado4                      | 1.3590     | 0,01       | 1.3285             | 1.3937             | 0.00000064       | 5.8262           |
| MaterialExtrusao1                     | 0.4596     | 0,00       | 0.4394             | 0.4830             | 0.1891           | 0.7984           |
| MaterialExtrusao2                     | 0.9158     | 0,01       | 0.8748             | 0.9527             | 0.3339           | 1.3583           |
| Materialrecuperado                    | 1.9834     | 0,01       | 1.9569             | 2.0096             | 0.3891           | 3.2568           |
| Materialseparado                      | 2.2203     | 0,03       | 2.0373             | 2.3622             | 1.2515           | 4.4297           |
| NVA Time                              | Average    | Half Width | Minimum<br>Average | Maximum<br>Average | Minimum<br>Value | Maximum<br>Value |
| Materialacabado                       | 0.00       | 0.00       | 0.00               | 0.00               | 0.00             | 0.00             |
| Materialagiutinado                    | 0.00       | 0.00       | 0.00               | 0.00               | 0.00             | 0.00             |
| Materialogiumado<br>Materialcortado 1 | 0.00       | 0.00       | 0.00               | 0.00               | 0.00             | 0.00             |
| MaterialCortado4                      | 0.00       | 0.00       | 0.00               | 0.00               | 0.00             | 0.00             |
| MaterialExtrusao1                     | 0.00       | 0.00       | 0.00               | 0.00               | 0.00             | 0.00             |
| MaterialExtrusao2                     | 0.00       | 0.00       | 0.00               | 0.00               | 0.00             | 0.00             |
| Materialrecuperado                    | 0.00       | 0.00       | 0.00               | 0.00               | 0.00             | 0.00             |
|                                       |            |            |                    |                    |                  |                  |
| Materialseparado                      | 0.00       | 0,00       | 0.00               | 0.00               | 0.00             | 0.00             |
| Wait Time                             | Average    | Half Width | Minimum<br>Average | Maximum<br>Average | Minimum<br>Value | Maximum<br>Value |
| Materialacabado                       | 0.00663982 | 0,00       | 0.00               | 0.02925749         | 0.00             | 1.3695           |
| Materialagiutinado                    | 4.9728     | 1,88       | 0.8316             | 22.1518            | 0.00             | 43.8077          |
| Materialcortado1                      | 0.04739105 | 0,00       | 0.04057561         | 0.05879488         | 0.00             | 0.7675           |
| MaterialCortado4                      | 6.3604     | 1,46       | 1.1175             | 15.6560            | 0.00             | 31.9582          |
| MaterialExtrusao1                     | 0.01861777 | 0,01       | 0.00678416         | 0.06865900         | 0.00             | 0.8195           |
| MaterialExtrusao2                     | 0.06680598 | 0,01       | 0.01450053         | 0.1320             | 0.00             | 2.6324           |
| Materialrecuperado                    | 0.8344     | 0,10       | 0.5101             | 1.5030             | 0.00             | 8.6565           |
| Materialseparado                      | 0.2339     | 0,05       | 0.04212224         | 0.4446             | 0.00             | 4.4297           |

of

## Unnamed Project

Replications: 24 Time Units: Minutes

## Entity

#### Time

| VA Time            | Average    | Half Width | Minimum<br>Average | Maximum<br>Average | Minimum<br>Value | Maximum<br>Value |
|--------------------|------------|------------|--------------------|--------------------|------------------|------------------|
| Materialacabado    | 1,1768     | 0.03       | 1.0454             | 1.3517             | 0.00005754       | 3.7869           |
| Materialagiutinado | 13.7589    | 0.23       | 12.7023            | 14.9434            | 5.5014           | 48.8870          |
| Materialcortado1   | 0.2317     | 0.00       | 0.2303             | 0.2330             | 0.1300           | 0.3971           |
| MaterialCortado4   | 1.3590     | 0.01       | 1.3285             | 1.3937             | 0.00000064       | 5.8262           |
| MaterialExtrusao1  | 0.4596     | 0.00       | 0.4394             | 0.4830             | 0.1891           | 0.7984           |
| MaterialExtrusao2  | 0.9158     | 0,00       | 0.4334             | 0.9527             | 0.1031           | 1.3583           |
| Materialrecuperado | 1.9834     | 0,01       | 1.9569             | 2.0096             | 0.3339           | 3.2568           |
| Materialseparado   | 2.2203     | 0,01       | 2.0373             | 2.3622             | 1.2515           | 4,4297           |
| Materialseparado   | 2.2203     | 0,03       | 2.0373             | 2.3022             | 1.2515           | 4.4297           |
| NVA Time           |            |            | Minimum            | Maximum            | Minimum          | Maximum          |
| Tear Time          | Average    | Half Width | Average            | Average            | Value            | Value            |
| Materialacabado    | 0.00       | 0,00       | 0.00               | 0.00               | 0.00             | 0.00             |
| Materialagiutinado | 0.00       | 0,00       | 0.00               | 0.00               | 0.00             | 0.00             |
| Materialcortado 1  | 0.00       | 0.00       | 0.00               | 0.00               | 0.00             | 0.00             |
| MaterialCortado4   | 0.00       | 0,00       | 0.00               | 0.00               | 0.00             | 0.00             |
| MaterialExtrusao1  | 0.00       | 0,00       | 0.00               | 0.00               | 0.00             | 0.00             |
| MaterialExtrusao2  | 0.00       | 0,00       | 0.00               | 0.00               | 0.00             | 0.00             |
| Materialrecuperado | 0.00       | 0.00       | 0.00               | 0.00               | 0.00             | 0.00             |
| Materialseparado   | 0.00       | 0.00       | 0.00               | 0.00               | 0.00             | 0.00             |
|                    |            | -,         |                    |                    |                  |                  |
| Walt Time          |            |            | Minimum            | Maximum            | Minimum          | Maximum          |
|                    | Average    | Half Width | Average            | Average            | Value            | Value            |
| Materialacabado    | 0.00663982 | 0,00       | 0.00               | 0.02925749         | 0.00             | 1.3695           |
| Materialagiutinado | 4.9728     | 1,88       | 0.8316             | 22.1518            | 0.00             | 43.8077          |
| Materialcortado1   | 0.04739105 | 0,00       | 0.04057561         | 0.05879488         | 0.00             | 0.7675           |
| MaterialCortado4   | 6.3604     | 1,46       | 1.1175             | 15.6560            | 0.00             | 31.9582          |
| MaterialExtrusao1  | 0.01861777 | 0,01       | 0.00678416         | 0.06865900         | 0.00             | 0.8195           |
| MaterialExtrusao2  | 0.06680598 | 0,01       | 0.01450053         | 0.1320             | 0.00             | 2.6324           |
| Materialrecuperado | 0.8344     | 0,10       | 0.5101             | 1.5030             | 0.00             | 8.6565           |
| Materialseparado   | 0.2339     | 0,05       | 0.04212224         | 0.4446             | 0.00             | 4.4297           |

## Unnamed Project

Replications: 24 Time Units: Minutes

## Entity

#### Time

| Transfer Time      | Average | Half Width | Minimum<br>Average | Maximum<br>Average | Minimum<br>Value | Maximum<br>Value |
|--------------------|---------|------------|--------------------|--------------------|------------------|------------------|
| Materialacabado    | 0.00    | 0,00       | 0.00               | 0.00               | 0.00             | 0.00             |
| Materialagiutinado | 0.00    | 0,00       | 0.00               | 0.00               | 0.00             | 0.00             |
| Materialcortado1   | 0.00    | 0,00       | 0.00               | 0.00               | 0.00             | 0.00             |
| MaterialCortado4   | 0.00    | 0,00       | 0.00               | 0.00               | 0.00             | 0.00             |
| MaterialExtrusao1  | 0.00    | 0,00       | 0.00               | 0.00               | 0.00             | 0.00             |
| MaterialExtrusao2  | 0.00    | 0,00       | 0.00               | 0.00               | 0.00             | 0.00             |
| Materialrecuperado | 0.00    | 0,00       | 0.00               | 0.00               | 0.00             | 0.00             |
| Materialseparado   | 0.00    | 0,00       | 0.00               | 0.00               | 0.00             | 0.00             |
|                    |         |            |                    |                    |                  |                  |
| Other Time         | Average | Half Width | Minimum            | Maximum<br>Average | Minimum<br>Value | Maximum<br>Value |
| Materialacabado    | 0.00    | 0.00       | Average<br>0.00    | 0.00               | 0.00             | 0.00             |
|                    | 0.00    | 0.00       | 0.00               | 0.00               | 0.00             | 0.00             |
| Materialagiutinado |         |            |                    |                    |                  |                  |
| Materialcortado 1  | 0.00    | 0,00       | 0.00               | 0.00               | 0.00             | 0.00             |
| MaterialCortado4   | 0.00    | 0,00       | 0.00               | 0.00               | 0.00             | 0.00             |
| MaterialExtrusao1  | 0.00    | 0,00       | 0.00               | 0.00               | 0.00             | 0.00             |
| MaterialExtrusao2  | 0.00    | 0,00       | 0.00               | 0.00               | 0.00             | 0.00             |
| Materialrecuperado | 0.00    | 0,00       | 0.00               | 0.00               | 0.00             | 0.00             |
| Materialseparado   | 0.00    | 0,00       | 0.00               | 0.00               | 0.00             | 0.00             |
| Total Time         |         |            |                    |                    |                  |                  |
| iotal Time         | Average | Half Width | Minimum<br>Average | Maximum<br>Average | Minimum<br>Value | Maximum<br>Value |
| Materialacabado    | 1.1834  | 0.03       | 1.0538             | 1.3517             | 0.00005754       | 3.7892           |
| Materialagiutinado | 18.7317 | 1,99       | 13.8703            | 36.6668            | 5.5014           | 64.8601          |
| Materialcortado 1  | 0.2791  | 0.00       | 0.2720             | 0.2909             | 0.1300           | 1.0739           |
| MaterialCortado4   | 7.7194  | 1,46       | 2.4586             | 17.0497            | 0.00004505       | 36.7221          |
| MaterialExtrusao1  | 0.4782  | 0.01       | 0.4551             | 0.5311             | 0.1891           | 1.2744           |
| MaterialExtrusao2  | 0.9826  | 0.01       | 0.9226             | 1.0398             | 0.3339           | 3.7423           |
| Materialrecuperado | 2.8179  | 0,11       | 2.4670             | 3.5062             | 0.3891           | 10.7554          |
| Materialseparado   | 2,4542  | 0.06       | 2.1104             | 2.6797             | 1.2515           | 6.8620           |
|                    | 2,4042  | 0,00       | 2.1104             | 2.0757             | 1.2010           | 0.0020           |
| Other              |         |            |                    |                    |                  |                  |

novembro 7, 2014

Category Overview

12:59:44

Values Across All Replications

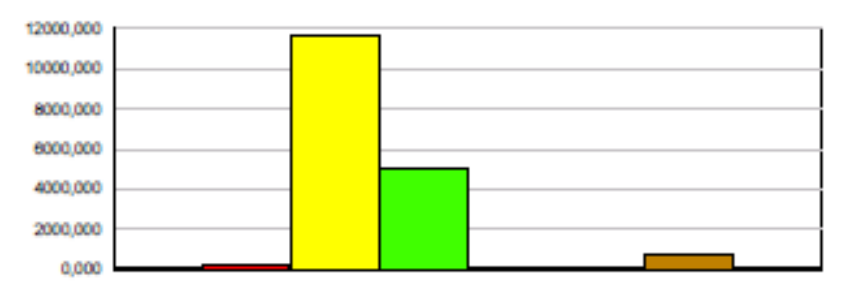
#### Unnamed Project

Replications: 24 Time Units: Minutes

#### Entity

#### Other

| Number In          | Average  | Half Width | Minimum<br>Average | Maximum<br>Average |  |
|--------------------|----------|------------|--------------------|--------------------|--|
| Materialacabado    | 74.3333  | 4,17       | 54.0000            | 89.0000            |  |
| Materialagiutinado | 245.54   | 6,46       | 220.00             | 283.00             |  |
| Materialcortado 1  | 11649.58 | 44,01      | 11442.00           | 11850.00           |  |
| MaterialCortado4   | 5018.75  | 25,62      | 4893.00            | 5137.00            |  |
| MaterialExtrusao1  | 76.7917  | 3,59       | 62.0000            | 92.0000            |  |
| MaterialExtrusao2  | 77.1250  | 2,95       | 62.0000            | 90.0000            |  |
| Materialrecuperado | 779.88   | 9,58       | 737.00             | 829.00             |  |
| Materialseparado   | 40.6667  | 2,45       | 29.0000            | 51.0000            |  |



| ■ M                   | ateriale | cabado  |
|-----------------------|----------|---------|
| <ul> <li>M</li> </ul> | ateriale | giutina |
| M<br>M                | aterialo | ortado  |

- MaterialCortado4
  MaterialExtrusac1
  MaterialExtrusac2
- Number Out Minimum Maximum Average Half Width Average Average Materialacabado 74.2917 4,17 54.0000 89.0000 Materialagiutinado 235.46 6,36 210.00 272.00 Materialcortado1 11643.38 44,14 11435.00 11844.00 MaterialCortado4 4873.63 23,79 4779.00 5007.00 MaterialExtrusao1 76.7500 62.0000 92.0000 3,62 MaterialExtrusao2 77.0000 2,90 62.0000 89.0000 Materialrecuperado 775.88 9,55 737.00 823.00 Materialseparado 40.5833 2,48 29.0000 51.0000

of

## Unnamed Project

Replications: 24 Time Units: Minutes

Entity

12:59:44

| WIP                | Average    | Half Width | Minimum<br>Average | Maximum<br>Average | Minimum<br>Value | Maximum<br>Value |
|--------------------|------------|------------|--------------------|--------------------|------------------|------------------|
| Materialacabado    | 0.1827     | 0,01       | 0.1415             | 0.2261             | 0.00             | 4.0000           |
| Materialagiutinado | 9.5112     | 1,23       | 6.1956             | 20.4928            | 0.00             | 32.0000          |
| Materialcortado 1  | 6.7719     | 0,08       | 6.5114             | 7.1360             | 0.00             | 32.0000          |
| MaterialCortado4   | 80.8301    | 15,54      | 25.0938            | 182.61             | 0.00             | 364.00           |
| MaterialExtrusao1  | 0.07648697 | 0,00       | 0.05958534         | 0.0908             | 0.00             | 3.0000           |
| MaterialExtrusao2  | 0.1579     | 0,01       | 0.1192             | 0.1840             | 0.00             | 4.0000           |
| Materialrecuperado | 4.5765     | 0,21       | 3.7878             | 5.8483             | 0.00             | 23.0000          |
| Materialseparado   | 0.2085     | 0,02       | 0.1376             | 0.2652             | 0.00             | 4.0000           |

## Unnamed Project

Replications: 24 Time Units: Minutes

#### Process

## Time per Entity

| VA Time Per Entity    | Average    | Half Width | Minimum<br>Average | Maximum<br>Average | Minimum<br>Value | Maximum<br>Value |
|-----------------------|------------|------------|--------------------|--------------------|------------------|------------------|
| Acabamento            | 1.1768     | 0,03       | 1.0454             | 1.3517             | 0.00005754       | 3.7869           |
| Corte 1               | 0.2317     | 0,00       | 0.2303             | 0.2330             | 0.1300           | 0.3971           |
| Corte 4               | 1.3590     | 0,01       | 1.3285             | 1.3937             | 0.00000064       | 5.8262           |
| Extrusora1            | 0.4596     | 0,00       | 0.4394             | 0.4830             | 0.1891           | 0.7984           |
| Extrusora3            | 0.9158     | 0,01       | 0.8748             | 0.9527             | 0.3339           | 1.3583           |
| Maquina Agiutinadora  | 13.7589    | 0,23       | 12.7023            | 14.9434            | 5.5014           | 48.8870          |
| Maquina Recuperadora  | 1.9834     | 0,01       | 1.9569             | 2.0096             | 0.3891           | 3.2568           |
| Separador             | 2.2203     | 0,03       | 2.0373             | 2.3622             | 1.2515           | 4.4297           |
| Walt Time Per Entity  | Average    | Half Width | Minimum<br>Average | Maximum<br>Average | Minimum<br>Value | Maximum<br>Value |
| Acabamento            | 0.00663982 | 0,00       | 0.00               | 0.02925749         | 0.00             | 1.3695           |
| Corte 1               | 0.04739105 | 0,00       | 0.04057561         | 0.05879488         | 0.00             | 0.7675           |
| Corte 4               | 6.3604     | 1,46       | 1.1175             | 15.6560            | 0.00             | 31.9582          |
| Extrusora1            | 0.01861777 | 0,01       | 0.00678416         | 0.06865900         | 0.00             | 0.8195           |
| Extrusora3            | 0.06680598 | 0,01       | 0.01450053         | 0.1320             | 0.00             | 2.6324           |
| Maquina Agiutinadora  | 4.9728     | 1,88       | 0.8316             | 22.1518            | 0.00             | 43.8077          |
| Maquina Recuperadora  | 0.8344     | 0,10       | 0.5101             | 1.5030             | 0.00             | 8.6565           |
| Separador             | 0.2339     | 0,05       | 0.04212224         | 0.4446             | 0.00             | 4.4297           |
| Total Time Per Entity | Average    | Half Width | Minimum<br>Average | Maximum<br>Average | Minimum<br>Value | Maximum<br>Value |
| Acabamento            | 1.1834     | 0,03       | 1.0538             | 1.3517             | 0.00005754       | 3.7892           |
| Corte 1               | 0.2791     | 0,00       | 0.2720             | 0.2909             | 0.1300           | 1.0739           |
| Corte 4               | 7.7194     | 1,46       | 2.4586             | 17.0497            | 0.00004505       | 36.7221          |
| Extrusora1            | 0.4782     | 0,01       | 0.4551             | 0.5311             | 0.1891           | 1.2744           |
| Extrusora3            | 0.9826     | 0,01       | 0.9226             | 1.0398             | 0.3339           | 3.7423           |
| Maquina Agiutinadora  | 18.7317    | 1,99       | 13.8703            | 36.6668            | 5.5014           | 64.8601          |
| Maquina Recuperadora  | 2.8179     | 0,11       | 2.4670             | 3.5062             | 0.3891           | 10.7554          |
| Separador             | 2.4542     | 0,06       | 2.1104             | 2.6797             | 1.2515           | 6.8620           |
| Accumulated Time      |            |            |                    |                    |                  |                  |

Category Overview

Values Across All Replications

12:59:44

novembro 7, 2014

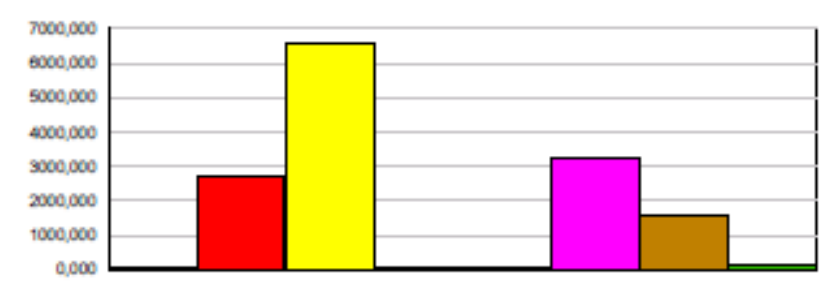
#### Unnamed Project

Replications: 24 Time Units: Minutes

#### Process

#### **Accumulated Time**

| Accum VA Time        | Average | Half Width | Minimum<br>Average | Maximum<br>Average |  |
|----------------------|---------|------------|--------------------|--------------------|--|
| Acabamento           | 87.1078 | 4,55       | 67.9232            | 108.53             |  |
| Corte 1              | 2697.39 | 11,40      | 2646.23            | 2753.52            |  |
| Corte 4              | 6622.88 | 27,81      | 6475.27            | 6693.39            |  |
| Extrusora1           | 35.2798 | 1,71       | 28.0104            | 42.2992            |  |
| Extrusora3           | 70.5405 | 2,80       | 55.7662            | 81.5867            |  |
| Maquina Agiutinadora | 3239.21 | 99,42      | 2738.13            | 3672.28            |  |
| Maquina Recuperadora | 1538.99 | 20,78      | 1442.23            | 1635.85            |  |
| Separador            | 90.0718 | 5,58       | 64.8076            | 111.68             |  |



Category Overview

Values Across All Replications

12:59:44

gory Overview novembro 7, 2014

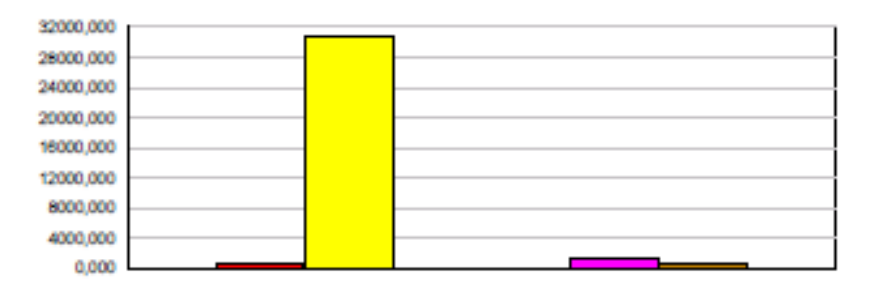
#### Unnamed Project

Replications: 24 Time Units: Minutes

#### Process

#### **Accumulated Time**

| Accum Walt Time      | Average  | Half Width | Minimum<br>Average | Maximum<br>Average |  |
|----------------------|----------|------------|--------------------|--------------------|--|
| Acabamento           | 0.5231   | 0,30       | 0.00               | 2.5161             |  |
| Corte 1              | 552.21   | 29,38      | 469.09             | 692.25             |  |
| Corte 4              | 30943.31 | 6.996,41   | 5403.01            | 75133.03           |  |
| Extrusora1           | 1.4284   | 0,41       | 0.4380             | 4.8748             |  |
| Extrusora3           | 5.2023   | 0,89       | 1.1165             | 10.1669            |  |
| Maquina Agiutinadora | 1203.17  | 484,00     | 174.64             | 5604.41            |  |
| Maquina Recuperadora | 650.53   | 86,79      | 375.91             | 1202.41            |  |
| Separador            | 9.8723   | 2,51       | 1.2215             | 19.2610            |  |



Acabemento
Corte 1
Corte 1
Corte 4
Distruces 1
Distruces 3
Magaina Ajustradora
Magaina Recuperadora
Separador

novembro 7, 2014

Category Overview

Values Across All Replications

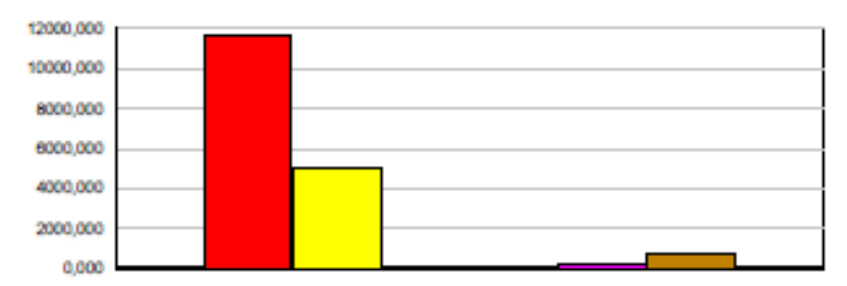
12:59:44

## Unnamed Project

Replications: 24 Time Units: Minutes

#### Process

| Number In            | Average  | Half Width | Minimum<br>Average | Maximum<br>Average |  |
|----------------------|----------|------------|--------------------|--------------------|--|
| Acabamento           | 74.3333  | 4,17       | 54.0000            | 89.0000            |  |
| Corte 1              | 11649.58 | 44,01      | 11442.00           | 11850.00           |  |
| Corte 4              | 5018.75  | 25,62      | 4893.00            | 5137.00            |  |
| Extrusora1           | 76.7917  | 3,59       | 62.0000            | 92.0000            |  |
| Extrusora3           | 77.1250  | 2,95       | 62.0000            | 90.0000            |  |
| Maquina Agiutinadora | 245.54   | 6,46       | 220.00             | 283.00             |  |
| Maquina Recuperadora | 779.88   | 9,58       | 737.00             | 829.00             |  |
| Separador            | 40.6667  | 2,45       | 29.0000            | 51.0000            |  |



| <ul> <li>Acabamento</li> </ul>           |
|--|
| Corte 1                                  |
| Corte-4                                  |
| □ Extrusors1                             |
| □ Extrusors3                             |
| <ul> <li>Maguina Aglutinadora</li> </ul> |
| <ul> <li>Maguina Recuperadora</li> </ul> |
| ■ Separador                              |
|  |

| Number Out           | Average  | Half Width | Minimum<br>Average | Maximum<br>Average |
|----------------------|----------|------------|--------------------|--------------------|
| Acabamento           | 74.2917  | 4,17       | 54.0000            | 89.0000            |
| Corte 1              | 11643.38 | 44,14      | 11435.00           | 11844.00           |
| Corte 4              | 4873.63  | 23,79      | 4779.00            | 5007.00            |
| Extrusora1           | 76.7500  | 3,62       | 62.0000            | 92.0000            |
| Extrusora3           | 77.0000  | 2,90       | 62.0000            | 89.0000            |
| Maquina Aglutinadora | 235.46   | 6,36       | 210.00             | 272.00             |
| Maquina Recuperadora | 775.88   | 9,55       | 737.00             | 823.00             |
| Separador            | 40.5833  | 2,48       | 29.0000            | 51.0000            |

## Unnamed Project

Replications: 24 Time Units: Minutes

Queue

#### Time

| Waiting Time                | Average    | Half Width | Minimum<br>Average | Maximum<br>Average | Minimum<br>Value | Maximum<br>Value |
|-----------------------------|------------|------------|--------------------|--------------------|------------------|------------------|
| Acabamento.Queue            | 0.00663133 | 0,00       | 0.00               | 0.02925749         | 0.00             | 1.3695           |
| Corte 1.Queue               | 0.04738706 | 0,00       | 0.04057274         | 0.05876992         | 0.00             | 0.7675           |
| Corte 4.Queue               | 6.3775     | 1,46       | 1.1251             | 15.7009            | 0.00             | 31.9582          |
| Extrusora1.Queue            | 0.01860680 | 0,01       | 0.00678416         | 0.06865900         | 0.00             | 0.8195           |
| Extrusora3.Queue            | 0.06688989 | 0,01       | 0.01450053         | 0.1320             | 0.00             | 2.6324           |
| Maquina Agiutinadora. Queue | 4.9892     | 1,90       | 0.8363             | 22.4943            | 0.00             | 43.8077          |
| Maquina Recuperadora.Queue  | 0.8338     | 0,10       | 0.5101             | 1.4993             | 0.00             | 8.6565           |
| Separador.Queue             | 0.2337     | 0,05       | 0.04212224         | 0.4446             | 0.00             | 4.4297           |

| Number Walting              | Average    | Half Width | Minimum<br>Average | Maximum<br>Average | Minimum<br>Value | Maximum<br>Value |
|-----------------------------|------------|------------|--------------------|--------------------|------------------|------------------|
| Acabamento.Queue            | 0.00108975 | 0,00       | 0.00               | 0.00524197         | 0.00             | 2.0000           |
| Corte 1.Queue               | 1.1510     | 0,06       | 0.9775             | 1.4422             | 0.00             | 25.0000          |
| Corte 4.Queue               | 66.9974    | 15,50      | 11.5439            | 168.64             | 0.00             | 350.00           |
| Extrusora1.Queue            | 0.00297588 | 0,00       | 0.00091249         | 0.01015581         | 0.00             | 2.0000           |
| Extrusora3.Queue            | 0.01087113 | 0,00       | 0.00232613         | 0.02118104         | 0.00             | 3.0000           |
| Maquina Agiutinadora. Queue | 2.6300     | 1,08       | 0.3859             | 12.6207            | 0.00             | 24.0000          |
| Maquina Recuperadora.Queue  | 1.3641     | 0,18       | 0.7832             | 2.5050             | 0.00             | 19.0000          |
| Separador.Queue             | 0.02056736 | 0,01       | 0.00254489         | 0.04012708         | 0.00             | 3.0000           |

novembro 7, 2014

Category Overview

Values Across All Replications

12:59:44

Unnamed Project

Replications: 24 Time Units: Minutes

Resource

#### Usage

| Instantaneous Utilization | Average    | Half Width | Minimum<br>Average | Maximum<br>Average | Minimum<br>Value | Maximum<br>Value |
|---------------------------|------------|------------|--------------------|--------------------|------------------|------------------|
| Cortador1                 | 0.8030     | 0,00       | 0.7878             | 0.8197             | 0.00             | 1.0000           |
| Cortador4                 | 0.9880     | 0,00       | 0.9668             | 0.9984             | 0.00             | 1.0000           |
| OperadorAcabamento        | 0.0908     | 0,00       | 0.07075332         | 0.1131             | 0.00             | 1.0000           |
| OperadorAglutinadora      | 0.8601     | 0,03       | 0.7262             | 0.9840             | 0.00             | 1.0000           |
| OperadorExtrusora         | 0.07351109 | 0,00       | 0.05835497         | 0.08812328         | 0.00             | 1.0000           |
| OperadorExtrusora3        | 0.1471     | 0,01       | 0.1162             | 0.1717             | 0.00             | 1.0000           |
| OperadorRecuperadora      | 0.8031     | 0,01       | 0.7512             | 0.8539             | 0.00             | 1.0000           |
| OperadorSeparador         | 0.1879     | 0,01       | 0.1350             | 0.2327             | 0.00             | 1.0000           |
|                           |            |            |                    |                    |                  |                  |
| Number Busy               | Average    | Half Width | Minimum<br>Average | Maximum            | Minimum<br>Value | Maximum<br>Value |
| Contract                  |            |            |                    | Average            |                  | 7.0000           |
| Cortador1                 | 5.6209     | 0,02       | 5.5145             | 5.7382             | 0.00             |                  |
| Cortador4                 | 13.8327    | 0,06       | 13.5346            | 13.9775            | 0.00             | 14.0000          |
| OperadorAcabamento        | 0.1816     | 0,01       | 0.1415             | 0.2261             | 0.00             | 2.0000           |
| OperadorAglutinadora      | 6.8811     | 0,20       | 5.8096             | 7.8722             | 0.00             | 8.0000           |
| OperadorExtrusora         | 0.07351109 | 0,00       | 0.05835497         | 0.08812328         | 0.00             | 1.0000           |
| OperadorExtrusora3        | 0.1471     | 0,01       | 0.1162             | 0.1717             | 0.00             | 1.0000           |
| OperadorRecuperadora      | 3.2124     | 0,04       | 3.0046             | 3.4155             | 0.00             | 4.0000           |
| OperadorSeparador         | 0.1879     | 0,01       | 0.1350             | 0.2327             | 0.00             | 1.0000           |
| Number Scheduled          |            |            |                    |                    |                  |                  |
| Number Scheduled          | Average    | Half Width | Minimum<br>Average | Maximum<br>Average | Minimum<br>Value | Maximum<br>Value |
| Cortador1                 | 7.0000     | 0.00       | 7.0000             | 7.0000             | 7.0000           | 7.0000           |
| Cortador4                 | 14.0000    | 0.00       | 14.0000            | 14.0000            | 14.0000          | 14.0000          |
| OperadorAcabamento        | 2.0000     | 0.00       | 2.0000             | 2.0000             | 2.0000           | 2.0000           |
| OperadorAglutinadora      | 8.0000     | 0,00       | 8.0000             | 8.0000             | 8.0000           | 8.0000           |
| OperadorExtrusora         | 1.0000     | 0,00       | 1.0000             | 1.0000             | 1.0000           | 1.0000           |
| OperadorExtrusora3        | 1.0000     | 0.00       | 1.0000             | 1.0000             | 1.0000           | 1.0000           |
| OperadorRecuperadora      | 4.0000     | 0.00       | 4.0000             | 4.0000             | 4.0000           | 4.0000           |
| OperadorSeparador         | 1.0000     | 0,00       | 1.0000             | 1.0000             | 1.0000           | 1.0000           |

13

novembro 7, 2014

## Category Overview Values Across All Replications

## Unnamed Project

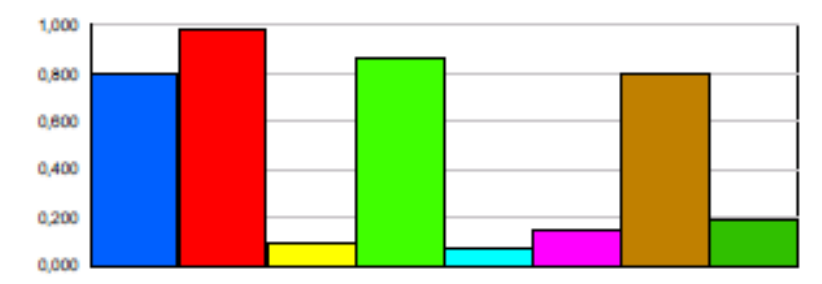
Replications: Time Units: Minutes

#### Resource

12:59:44

#### Usage

| Scheduled Utilization | Average    | Half Width | Minimum<br>Average | Maximum<br>Average |  |
|-----------------------|------------|------------|--------------------|--------------------|--|
| Cortador1             | 0.8030     | 0,00       | 0.7878             | 0.8197             |  |
| Cortador4             | 0.9880     | 0,00       | 0.9668             | 0.9984             |  |
| OperadorAcabamento    | 0.0908     | 0,00       | 0.07075332         | 0.1131             |  |
| OperadorAglutinadora  | 0.8601     | 0,03       | 0.7262             | 0.9840             |  |
| OperadorExtrusora     | 0.07351109 | 0,00       | 0.05835497         | 0.08812328         |  |
| OperadorExtrusora3    | 0.1471     | 0,01       | 0.1162             | 0.1717             |  |
| OperadorRecuperadora  | 0.8031     | 0,01       | 0.7512             | 0.8539             |  |
| OperadorSeparador     | 0.1879     | 0,01       | 0.1350             | 0.2327             |  |



Category Overview

Values Across All Replications

12:59:44

novembro 7, 2014

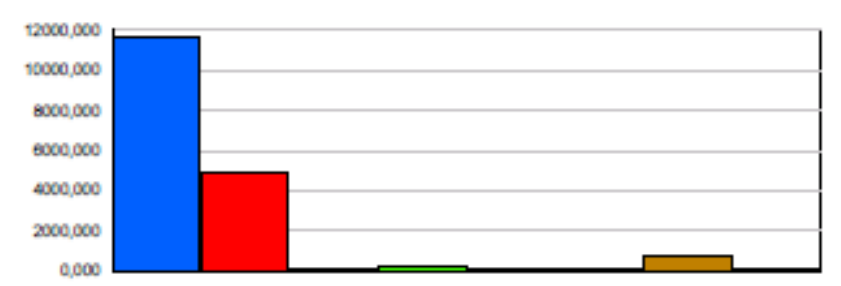
### Unnamed Project

Replications: 24 Time Units: Minutes

#### Resource

#### Usage

| Total Number Selzed  | Average  | Half Width | Minimum<br>Average | Maximum<br>Average |
|----------------------|----------|------------|--------------------|--------------------|
| Cortador1            | 11648.75 | 44,09      | 11442.00           | 11850.00           |
| Cortador4            | 4887.63  | 23,79      | 4793.00            | 5021.00            |
| OperadorAcabamento   | 74.3333  | 4,17       | 54.0000            | 89.0000            |
| OperadorAglutinadora | 242.58   | 6,19       | 218.00             | 280.00             |
| OperadorExtrusora    | 76.7917  | 3,59       | 62.0000            | 92.0000            |
| OperadorExtrusora3   | 77.1250  | 2,95       | 62.0000            | 90.0000            |
| OperadorRecuperadora | 778.92   | 9,60       | 737.00             | 827.00             |
| OperadorSeparador    | 40.6667  | 2,45       | 29.0000            | 51.0000            |



Cortadori
Cortadori
OperadorAssbament
OperadorAssbament
OperadorEstrusors
OperadorEstrusors